

Laste erakorraline pea- ja kaelapiirkonna radioloogia

Kaarel Kärmas

III aasta resident

Millegist tuleb juttu

~~Pea- ja kaelapiirkonna anatoomia~~

- Reet Otsus 22.02.2017 ERÜ Kolmapäevalaseminar
- Ülevaade sagedamini erakorralises situatsioonis esinevatest mittetraumaatilistest laste pea- ja kaelapiirkonna patoloogiatest
 - Ninakõrvvalkoobaste piirkond
 - Silmakoobaste piirkond
 - Suu- ja ninaõõne piirkond
 - Neelu- ja kõripiirkond
 - Kaelapiirkond

Diagnostic Imaging in Nontraumatic Pedi- atric Head and Neck Emergencies¹

*Benjamin J. Ludwig, MD • Bryan R. Foster, MD • Naoko Saito, MD
Rohini N. Nadgir, MD • Ilse Castro-Aragon, MD • Osamu Sakai, MD, PhD*

Paranasalaalsiinuste areng

Maksillaarsiinused

- Sünnimomendil olemas, formeeruvad esimestena
- Visualiseeritavad 1. eluaastaks
- Lõplik suurus kujuneb 15.-18. eluaastaks

Frontaalsiinused

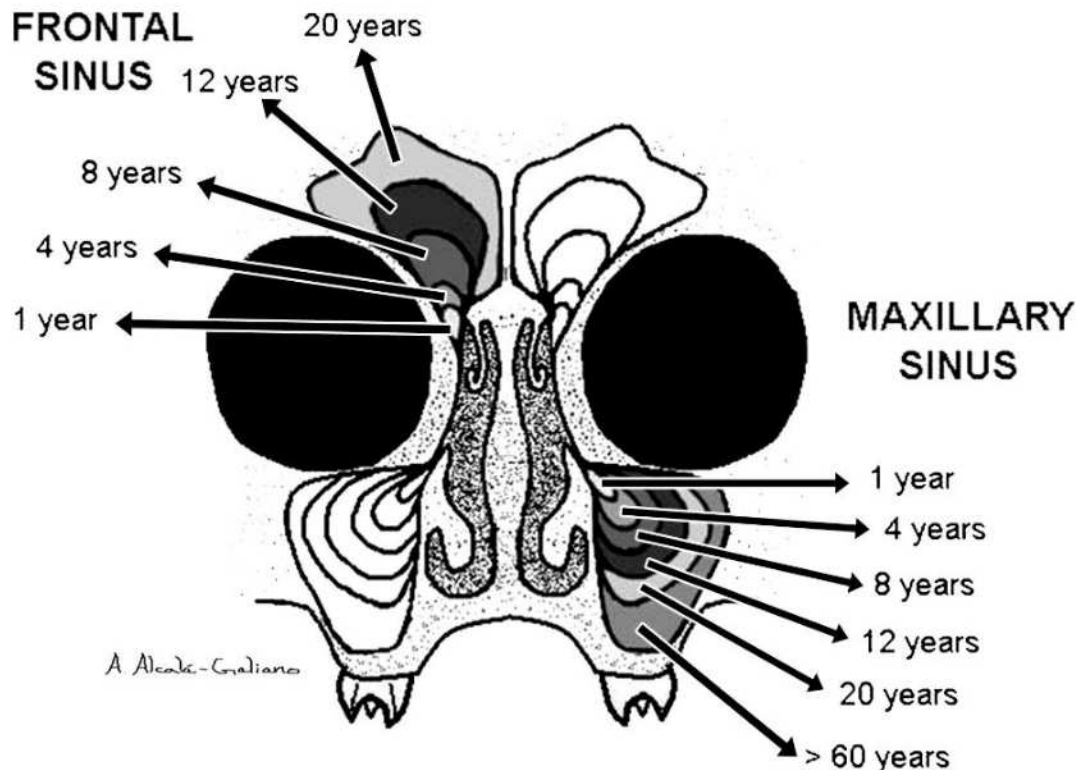
- Sünnimomendil puuduvad
- Arenevad 2.-4. eluaasta vahel
- Visualiseeritavad keskmiselt 6. eluaastaks
- Lõplik suurus 20. eluaastaks

Etmoidrakustik

- Sünnimomendil olemas
- Arenevalt kiirelt kuni 5. eluaastani, seejärel aeglasemalt kuni 8 eluaastani
- Lõplik suurus 12. eluaastaks

Sfenoidaalsiinus

- Sünnimomendil puudub või mõne mm suurune
- Visualiseeritav alates 3 – 8. eluaastast
- Areneb lõplikult 25. eluaastaks

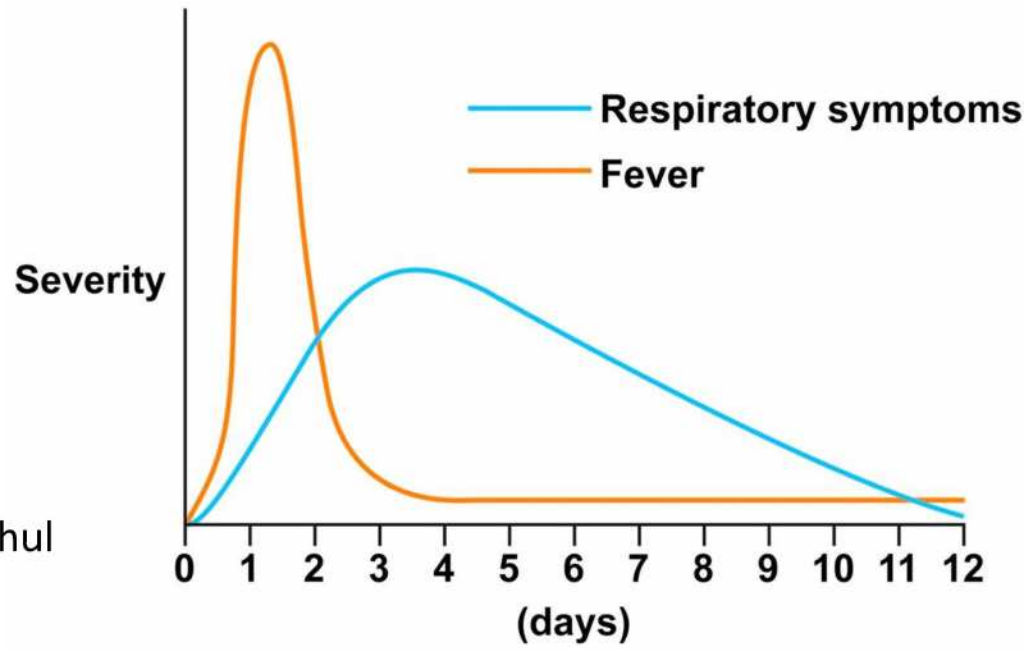


Sinusit

- Sinusiit on defineeritud kui paranasalsiinuste limaskesta põletik
 - **Viiruslik**
 - **Bakteriaalne**
 - Fungaalne
- Lastel kõige sagestasemaks **ägeda bakteriaalse sinusiidi** predisponeerivateks faktoriks:
 - **ÜHVI** (ülemiste hingamisteede viirusinfektsioon)
 - kuni 80% juhtudest
 - allergiline riniit

ÜHVI

- Sümtomid:
 - Ninakinnisus
 - Sekreedi eritumine ninast
 - Esialgu vesine, seejärel mukoidne, hägune
 - Kurgukähedus
 - Köha
 - Palavik
 - Sagedasem alla 8 aastaste laste puhul
- Kliiniline kulg enamasti **5 -10 päeva**.
 - Üldküsimustite taandumine 1-2 päeva järel
 - Respiratoorsete sümpтомite piik 3.-6. päeval



Uncomplicated Viral URI

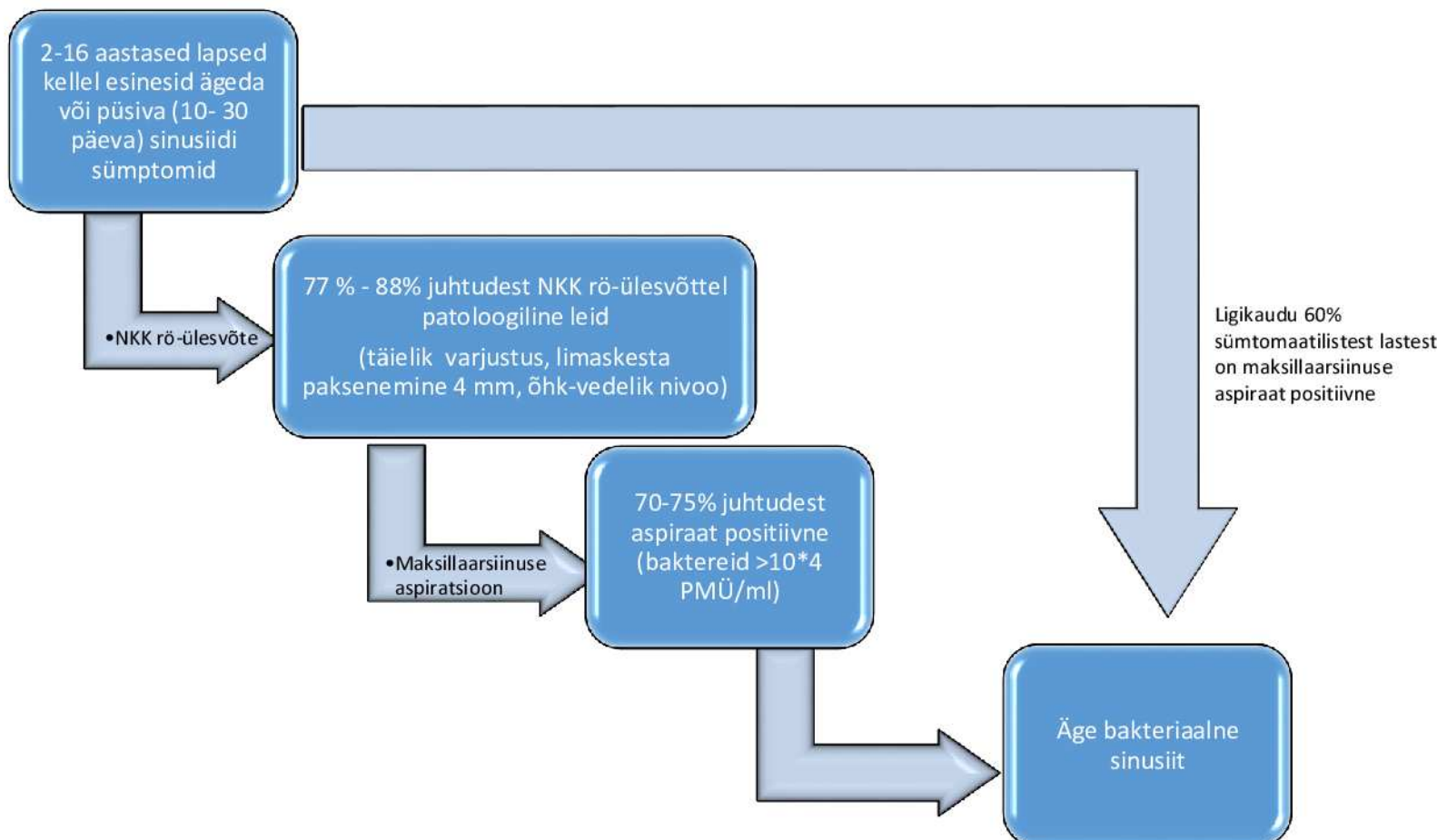
Äge bakteriaalne sinusit

- ÜHVI tüsistusena tekib **6 -7 % (5-13 %)** juhtudest **äge bakteriaalne sinusit**

| Haiguse kulg | Püsiv haigus | Akuutse algusega | Halveneva kuluga |
|--------------|---|---|---|
| Pikkus | 10 – 30 päeva | ≥ 3 järjestikkust päeva | ≥ 1 nädal algsete sümptomite tekkest |
| Sümptomid | <ul style="list-style-type: none">Mittespetsiifiline rinorröaSubfebriliteetKöha „no improvement“ | <ul style="list-style-type: none">Purulentne rinorröaPalavik $\geq 39^{\circ}\text{C}$ „acute onset“ | <ul style="list-style-type: none">Rohkenunud rinorröaUus/taastekkinud palavik või köha „biphasic“ |

Ägeda bakteriaalse sinusitiidi kuvamine

- 1981 -1986 Wald et al.



Ägeda bakteriaalse sinusiidi kuvamine

- Hilisemad uuringud:
 - *Manning et al. 1996*
 - Uuriti lapsi, kellel teostati pea KT või MRT uuring mõnel muul põhjusel kui respiratoorsed kaebused või sinusiidi kahtlus
 - **55%** esinesid mõningased NKK limaskesta muutused ja **33%** esinesid väljendunud muutused, s.h väljendunud limaskesta paksenemine ja õhk-vedelik nivood.
 - *Konen et al. 2000*
 - Rö-ülesvõtte puhul kuni **32% valenegatiivseid** ja kuni **49,2% valepositiivseid** juhte võrreldes KT-uuringuga.

Ägeda bakteriaalse sinusiidi kuvamine

Clinical Condition: Sinusitis — Child



ACR
Appropriateness Criteria®

Variant 1: Children with uncomplicated acute sinusitis.

| Radiologic Procedure | Rating | Comments | RRL* |
|---|--------|------------------------------------|------|
| X-ray paranasal sinuses | 1 | One to four projections. See text. | ⊕ |
| CT paranasal sinuses without contrast | 1 | | ⊕⊕⊕ |
| CT paranasal sinuses with contrast | 1 | | ⊕⊕⊕ |
| CT paranasal sinuses without and with contrast | 1 | | ⊕⊕⊕⊕ |
| MRI paranasal sinuses without contrast | 1 | | O |
| MRI paranasal sinuses without and with contrast | 1 | | O |

Rating Scale: 1,2,3 Usually not appropriate; 4,5,6 May be appropriate; 7,8,9 Usually appropriate *Relative Radiation Level

- Klinitsistid **ei peaks kasutama piltdiagnostikat** (rö-ülesvõtted, KT, MRT ja ultraheli) ägeda bakeriaalse sinusiidi ja ÜHVI eristamiseks.

- Evidence quality: B; Strong recommendation.
 - AAP Clinical Practice Guideline 2013

American Academy
of Pediatrics



DEDICATED TO THE HEALTH OF ALL CHILDREN™

Ägeda bakteriaalse sinusiidi tüsistused

- Esinevad suhteliselt harva, kuid võivad olla hilineva diagnoosi tõttu eluohtlikud
- Lisanduvad sümpтомid:
 - Nääo piirkonna turse, erüteem
 - Nägemishäired
 - Valulik oftalmopleegia
 - Proptoos
 - Fokaalne neuroloogiline defitsiit
 - Krambid
 - Meningiaalärritusnähud
 - Teadvushäire

Tüsistunud sinusiidi kuvamine



Clinical Condition: Sinusitis — Child

Variant 3: Children with sinusitis with orbital or intracranial complications.

| Radiologic Procedure | Rating | Comments | RR _L * |
|---|--------|--|-------------------|
| CT paranasal sinuses with contrast | 9 | | ⊕⊕⊕ |
| CT head with contrast | 9 | Should be done selectively when signs suggest intracranial complication. | ⊕⊕⊕ |
| MRI paranasal sinuses without and with contrast | 7 | See statement regarding contrast in text under "Anticipated Exceptions." Should be performed when signs suggest intracranial complications that are not demonstrated by initial CT scan. See statement regarding contrast in text under "Anticipated Exceptions." | O |
| MRI head without and with contrast | 7 | | O |
| MRI paranasal sinuses without contrast | 3 | | O |
| MRI head without contrast | 3 | Should be performed when signs suggest intracranial complications that are not demonstrated by initial CT scan. | O |
| CT paranasal sinuses without and with contrast | 2 | High-density area in noncontrast CT may be helpful in diagnosis of sinusitis due to aspergillosis. | ⊕⊕⊕⊕ |
| CT head without and with contrast | 2 | Should be done selectively when signs suggest intracranial complication. | ⊕⊕⊕⊕ |
| CT paranasal sinuses without contrast | 1 | | ⊕⊕⊕ |
| CT head without contrast | 1 | Should be done selectively when signs suggest intracranial complication. | ⊕⊕⊕ |
| X-ray paranasal sinuses | 1 | One to four projections. See text. | ⊕ |

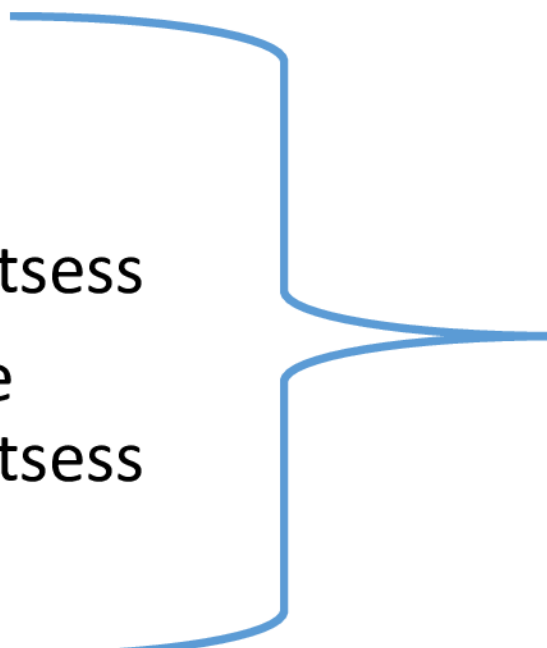
Rating Scale: 1,2,3 Usually not appropriate; 4,5,6 May be appropriate; 7,8,9 Usually appropriate

*Relative
Radiation Level

Ägeda bakteriaalse sinusidi tüsistused

- Orbita tselluliit ja abstsess

- Osteomüeliit
- Skalbialune empüeem/abstsess
- Intrakraniaalne empüeem/abstsess
- Meningiit



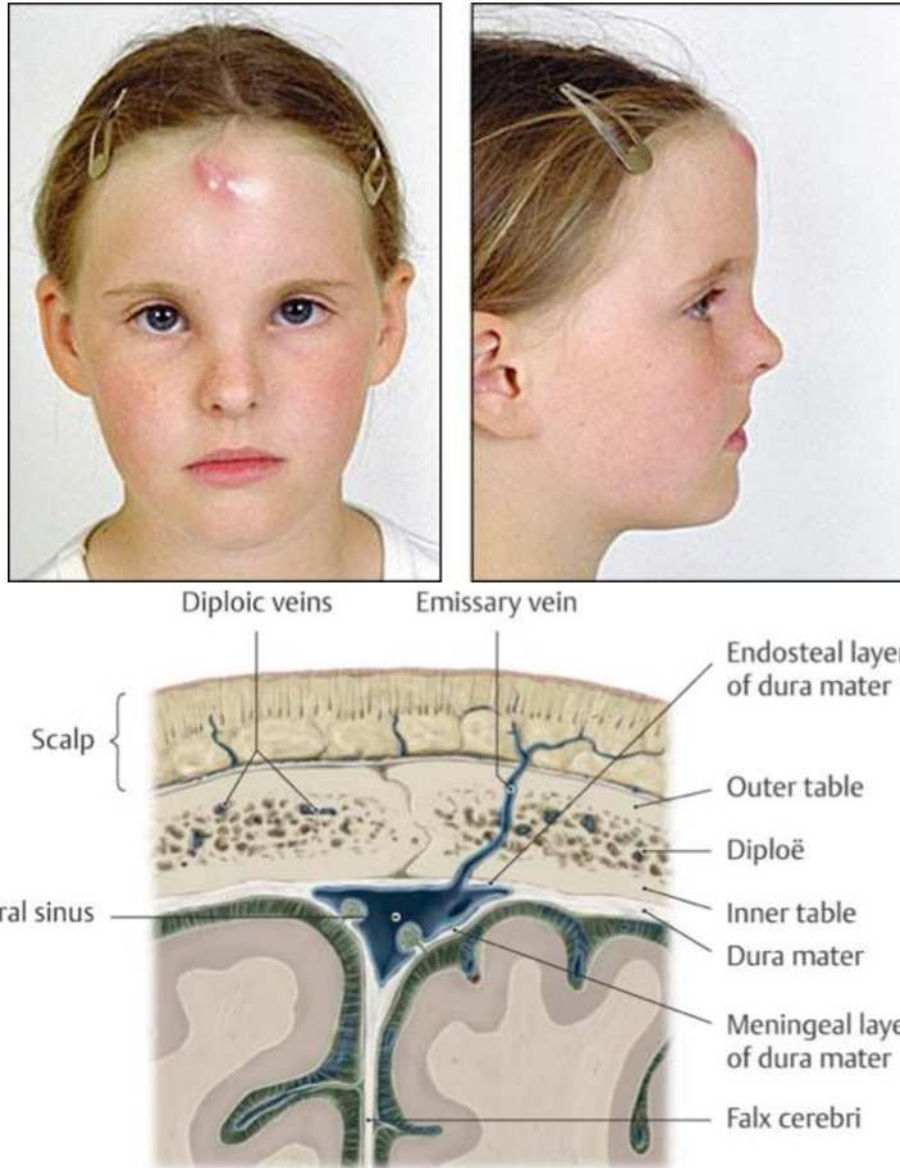
Potti paistuumor
„*Pott's puff tumor*“

Pott's puff tumor

- Sagedamini ägeda frontiidi tüsistus
- Iseloomulik hüpereemiline, taigenjas-fluktueeruv moodustis otsmiku piirkonnas

• Patogenees:

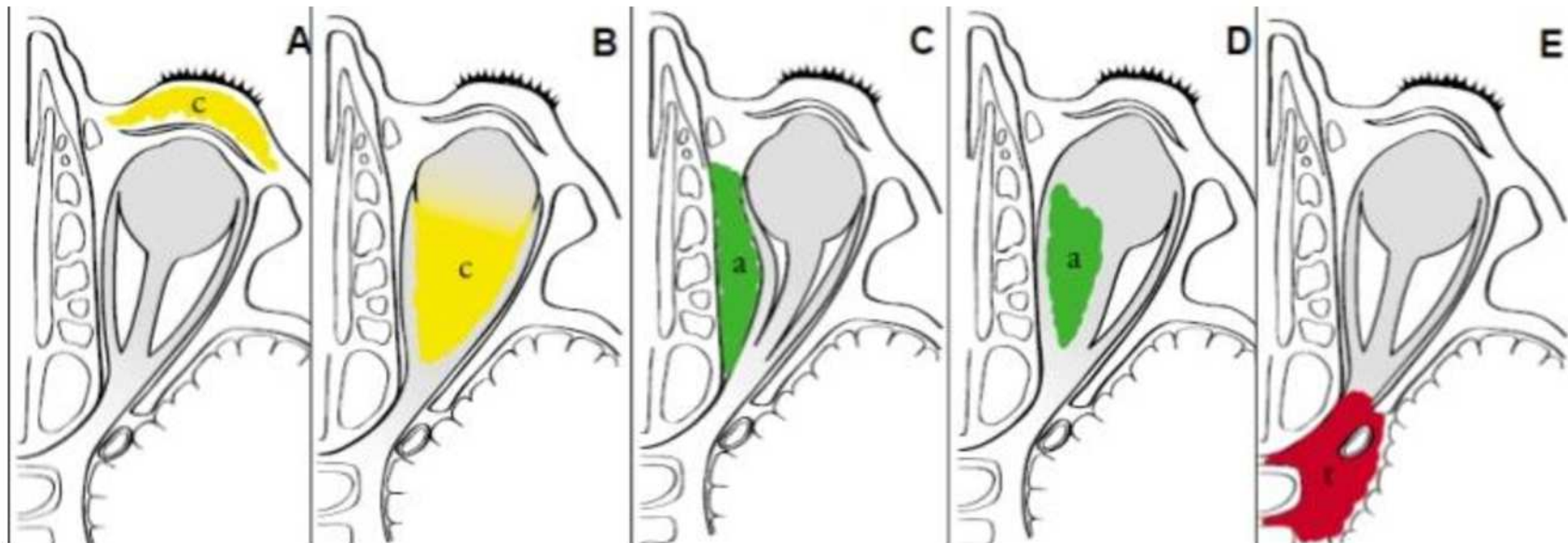
1. Infektsiooni levik mööda kobeiku veene (vv.diploe) frontaalluuusse
2. subperiostaalse/ skalbialuse abstsessi formeerumine
3. levik intrakraniaalsele
 - subduraalne/epiduraalne empüeem
 - ajuabstsess
 - siinustromboos



Orbita piirkonna tüsistused

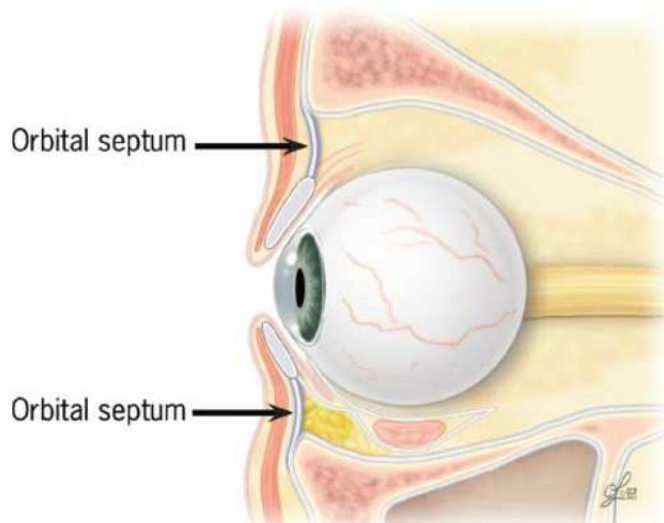
Chandleri klassifikatsioon:

- A. Periorbitaalne (preseptaalne) tselluliit
- B. Orbita (postseptaalne) tselluliit
- C. Subperiostaalne abstsess
- D. Orbita abstsesss
- E. Kavernoossiinuse tromboflebiit

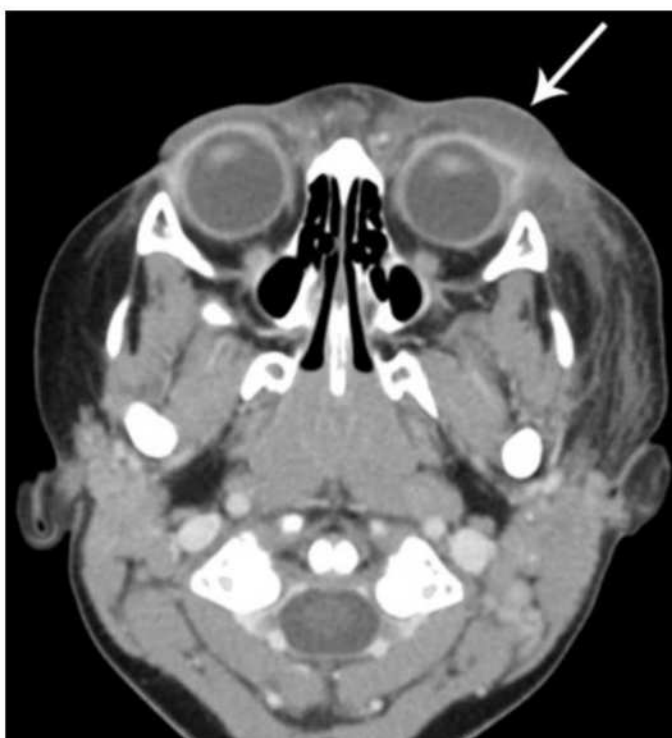


Periorbitaalne tselluliit

- Periorbitaalne ehk preseptalne tselluliit on orbita septumist eespool paiknevate pehmete kudede põletik
- Sagedamini põhjuseks näonaha infektsioonid, kuid ka sinusiit (etmoidrakustik)
- Sümpomiteks silmalau turse, erüteem
- Kontrastainega KT-uuringul preseptaalsete pehmete kudede turse ja kontrasteerumine
- Ravi: antibiootikum, tavaliselt p/o

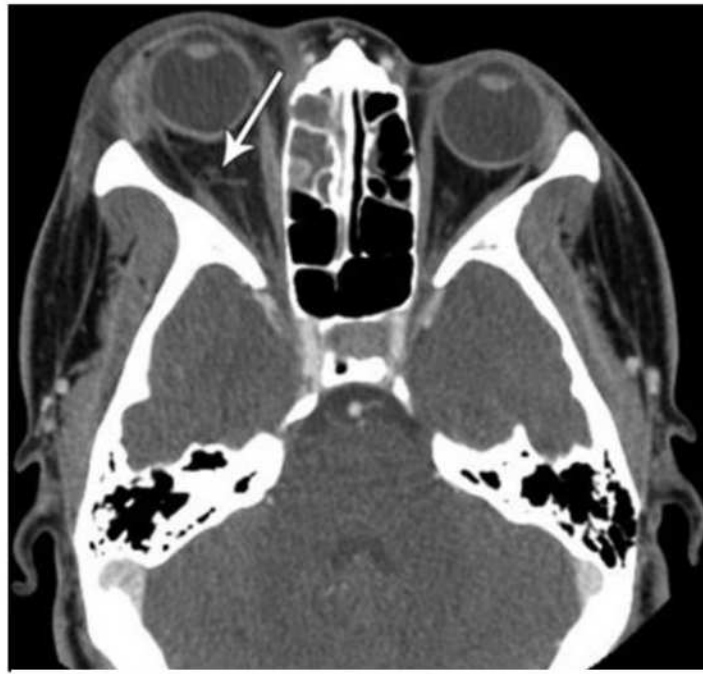


Source: Richard P. Usatine, Mindy Ann Smith, Heidi S. Chumley, Camille Sabella, E.J. Mayeaux, Jr., Elumalai Appachi: *The Color Atlas of Pediatrics*: www.accesspediatrics.com
Copyright © McGraw-Hill Education. All rights reserved.



Orbita tselluliit ja abstsess

- Tekib sagedamini paranasalsiinuste (etmiodrakustik) infekstioonide tagajärjel
- Abstsessid jaotatakse: intrakonaalne, ekstrakonaalne, subperiostaalne
- KT-uuring leid:
 - orbita struktuuride hägustumine, infiltratsioon
 - retrobulbaarse rasvkoe ja ekstraokulaarsete lihaste infiltratsioon, turse
 - intraorbitaalne, subperiostealne abstsess koos massiefktiga
- Tüsistused:
 - v. ophtalmica superiori tromboseerumine
 - kavernoossiinuse tromboflebiit
 - menigiit
 - intrakraniaalne abstsess
- Ravi: i/v AB, abstsesside puhul kirurgiline ravi

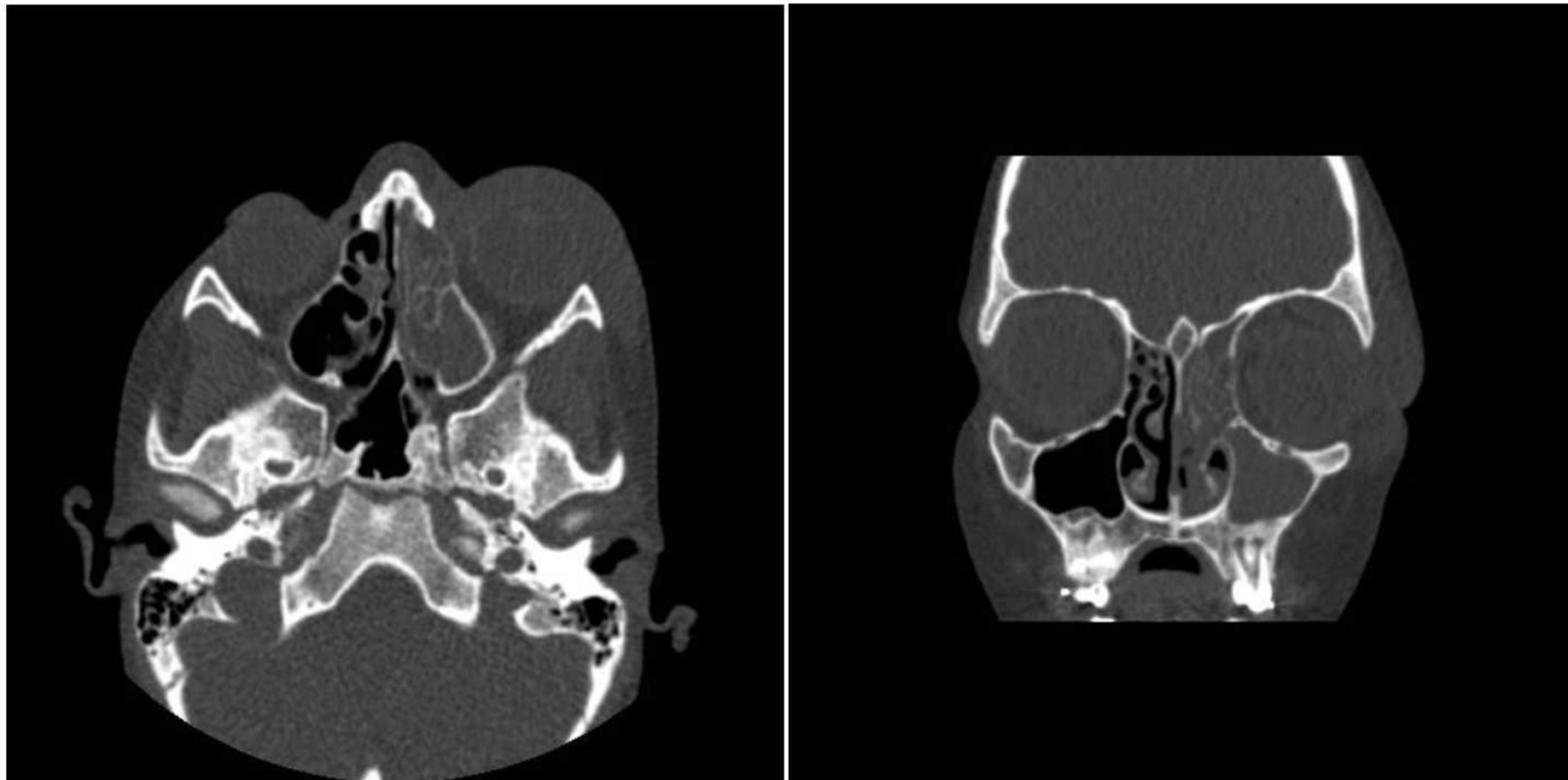


Haigusjuht 1

- 10a7k tütarlaps
- Pöördub 24.09.17 erakorralise meditsiini osakonda, põhikaebuseks vasaku silma ümbruse turse alates 23.09.17. Viimase 6 päeva jooksul esinenud nohu, alates 22.09 palavik kuni 39,5 kraadi.
- Objektiivne leid:
 - Vasak silm tugevalt paistes, suud silma tõttu avada ei saa, kurku vaadata ei õnnestu, kuklakangestust ei esine
 - Kopsud, süda auskult. ii
 - Analüüsides C-reaktiivne valk 184 mg/L
- Hospitaliseeritud
- Alustatud AB ravi
- Tellitud erakorraline KT-uuring

Haigusjuht 1

- 24.09.17 Low-dose NKK KT-uuring



Haigusjuht 1

- Low-dose NKK KT-uuring 28.09.17



Haigusjuht 1

- Rö-ülesvõte 03.11.17



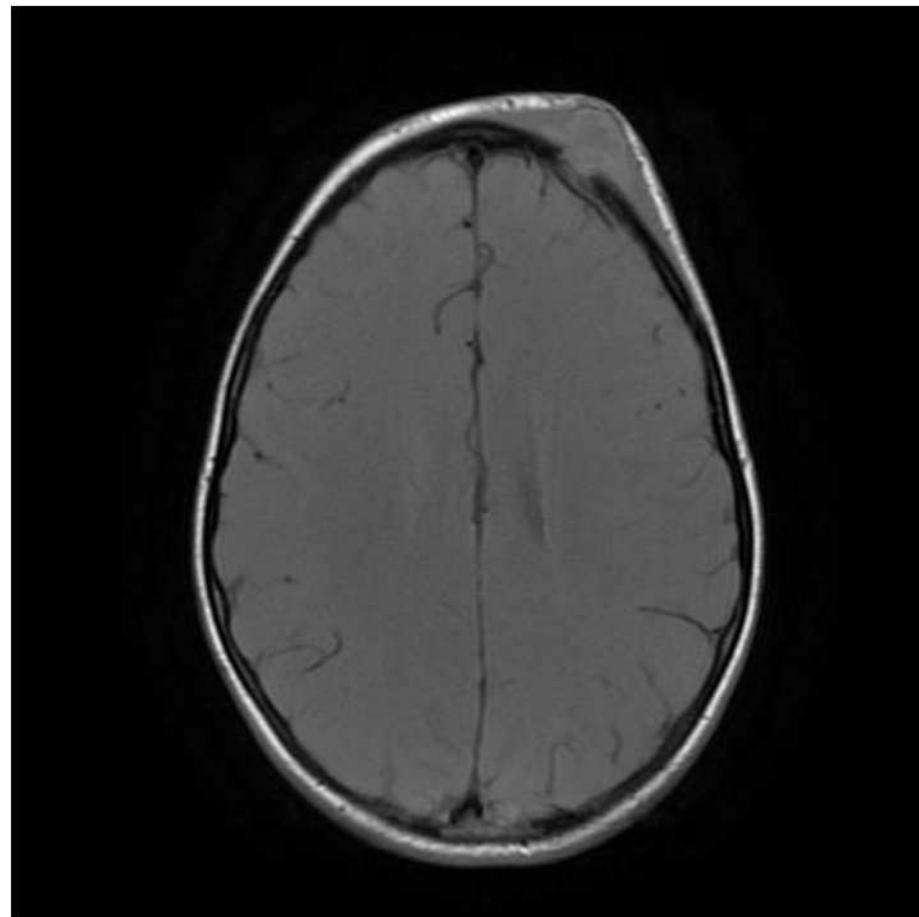
Haigusjuht 1

- Low-dose NKK KT-uuring 03.11.17

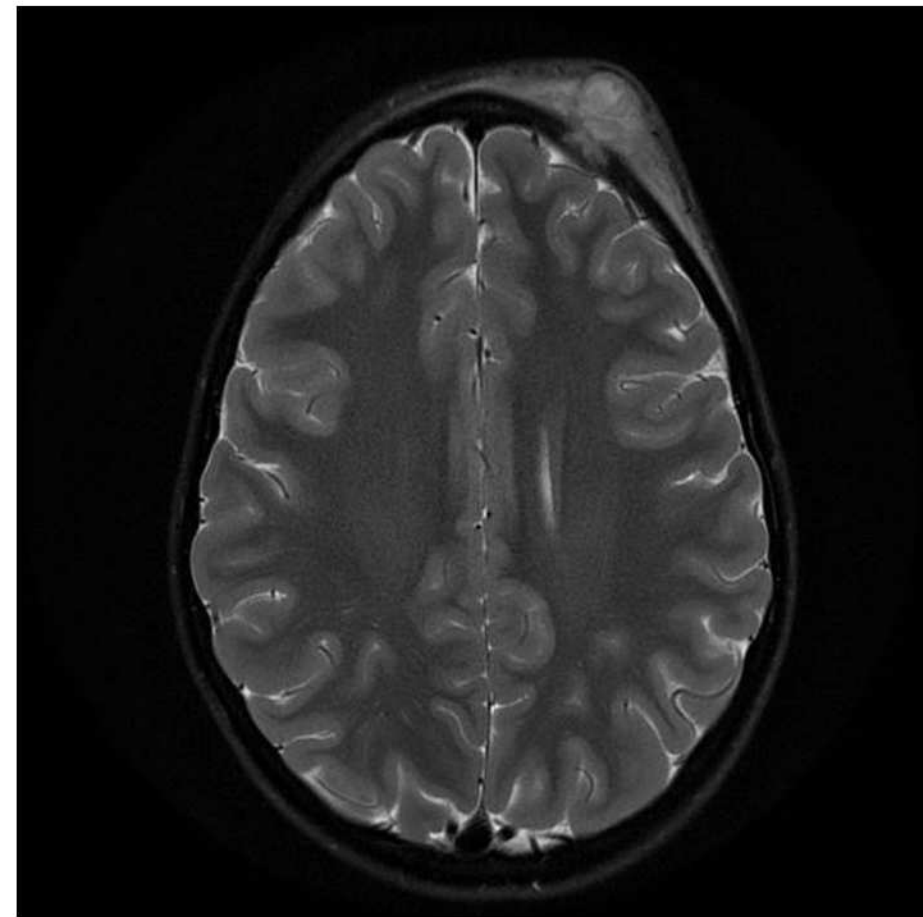


Haigusjuht 1

- MRT kontrastainega 07.11.17



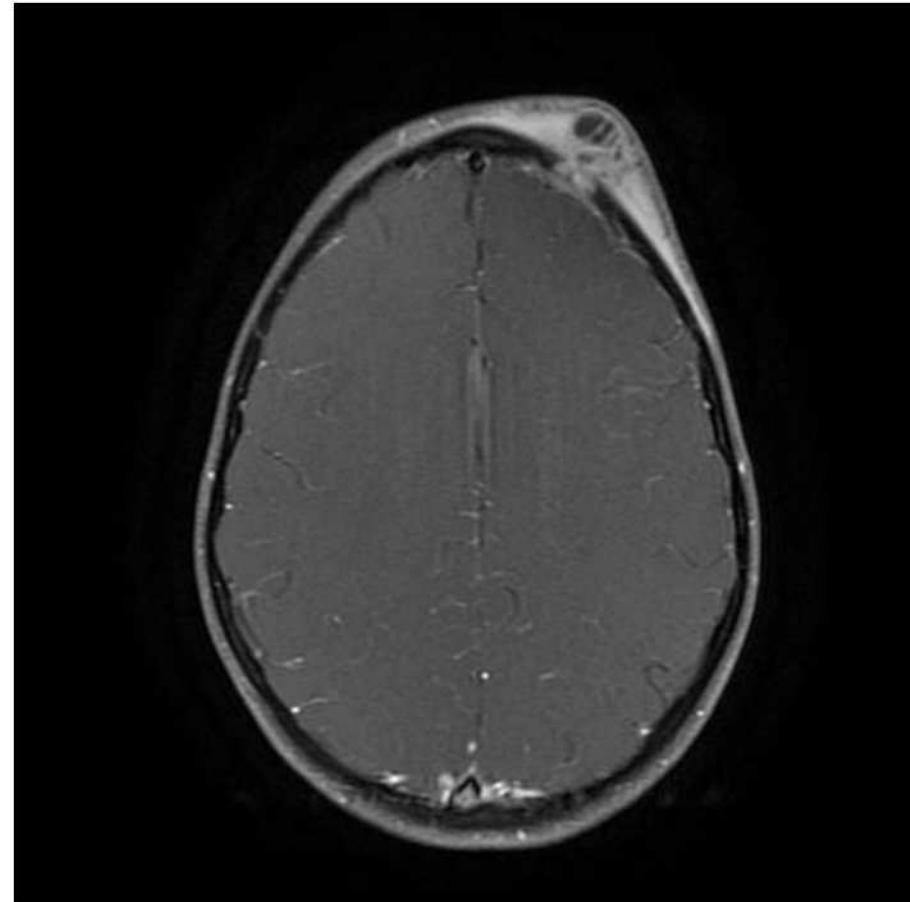
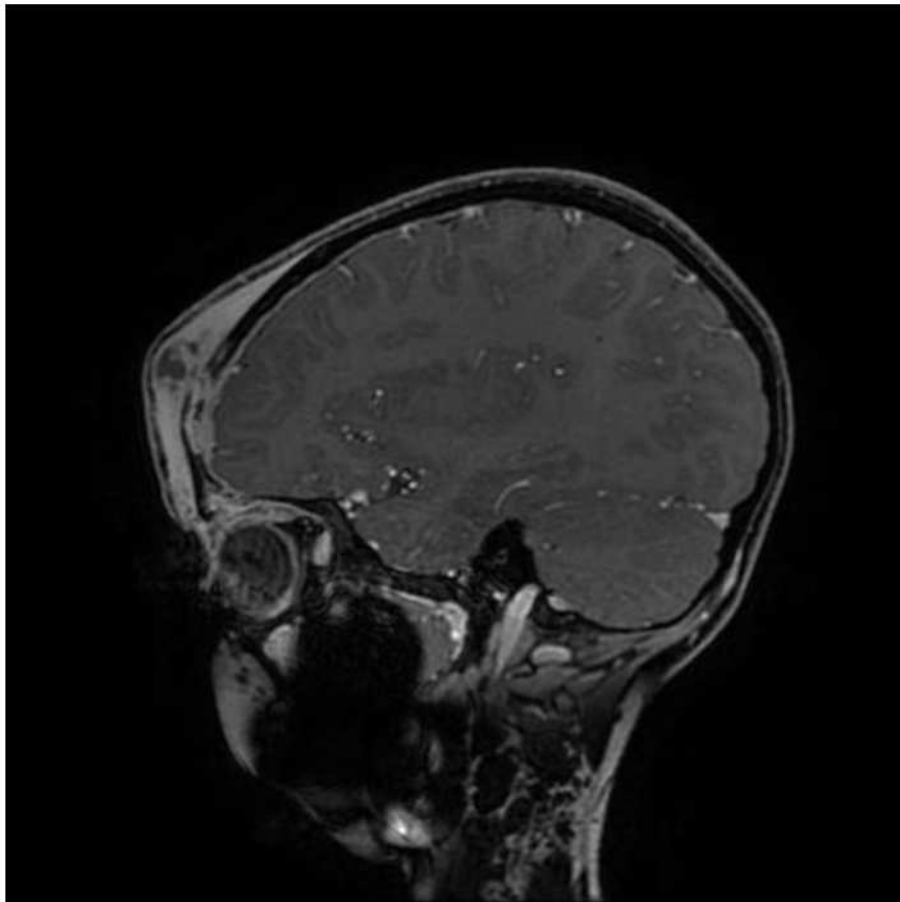
T1



T2 FS

Haigusjuht 1

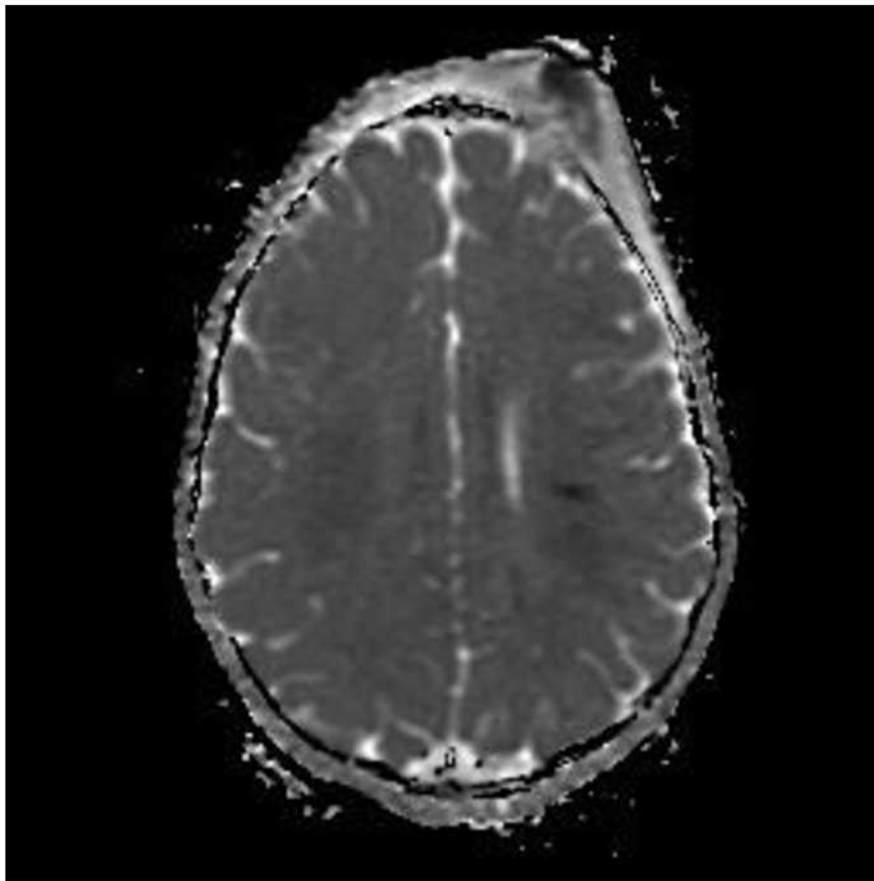
- MRT kontrastainega 07.11.17



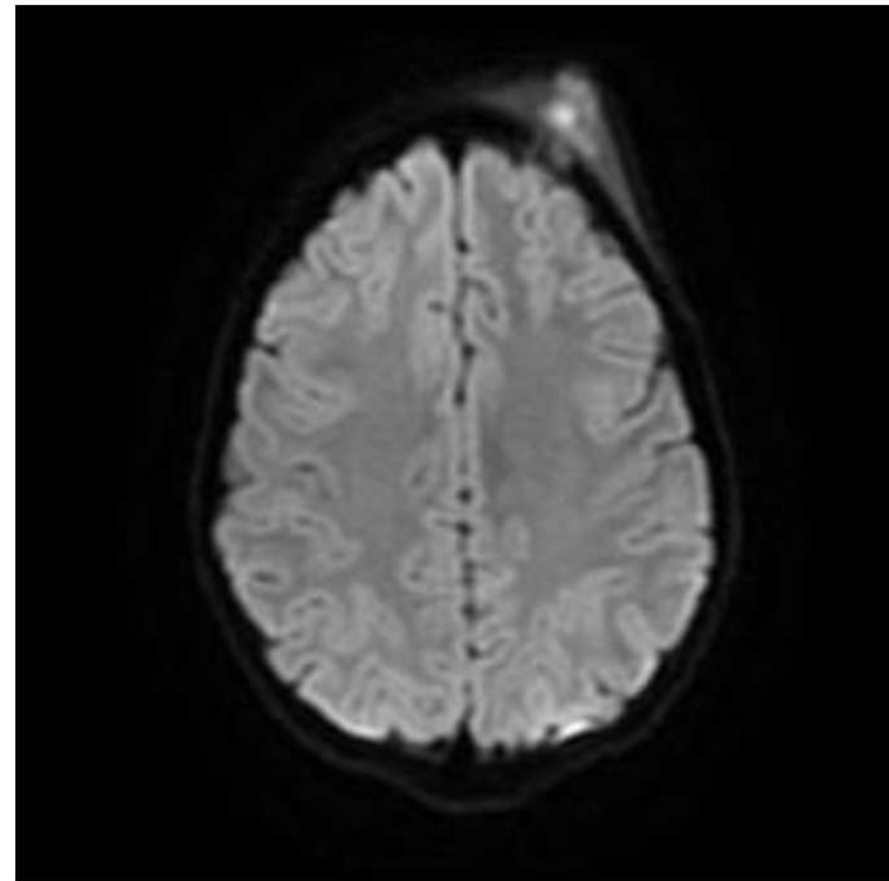
T1 +C FS

Haigusjuht 1

- MRT kontrastainega 07.11.17



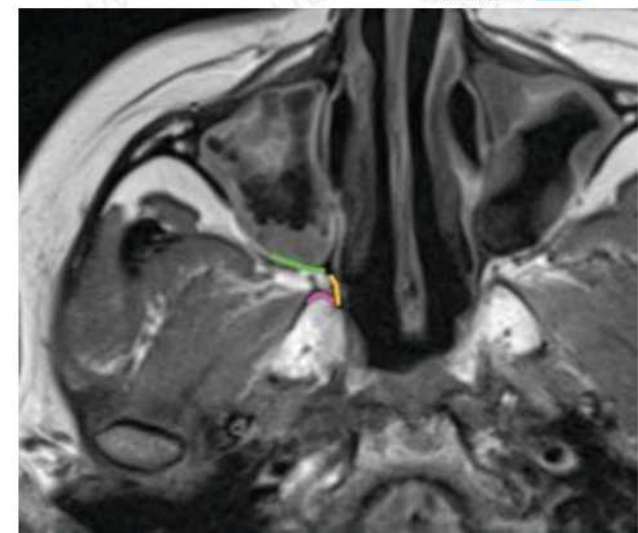
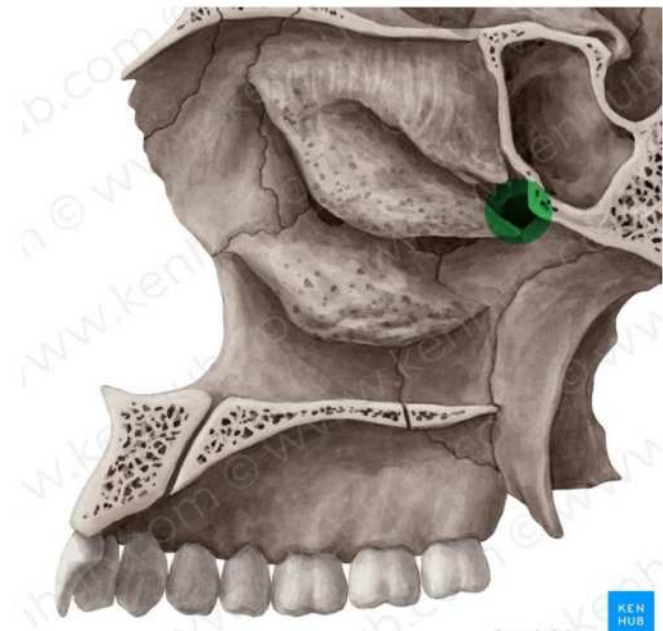
ADC



DWI

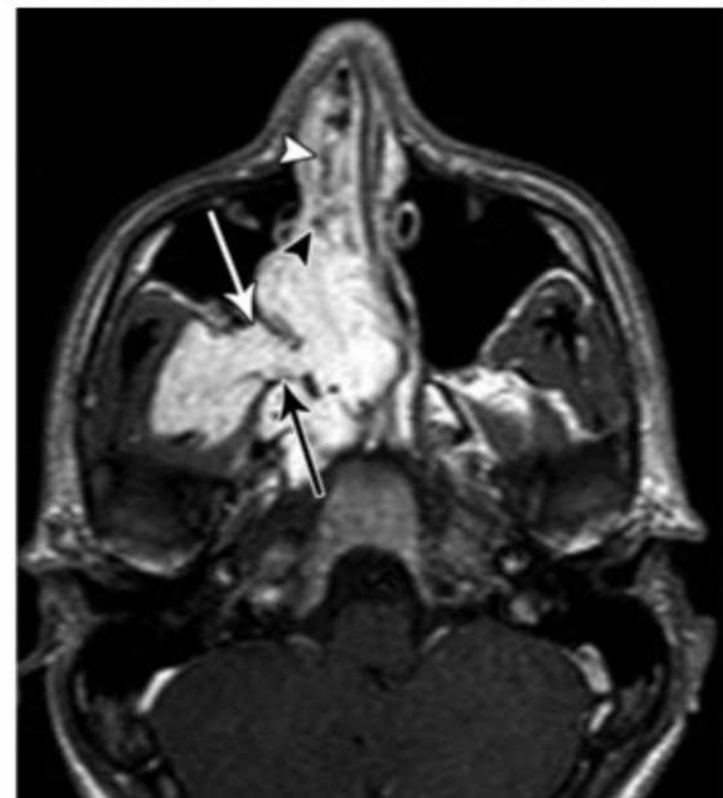
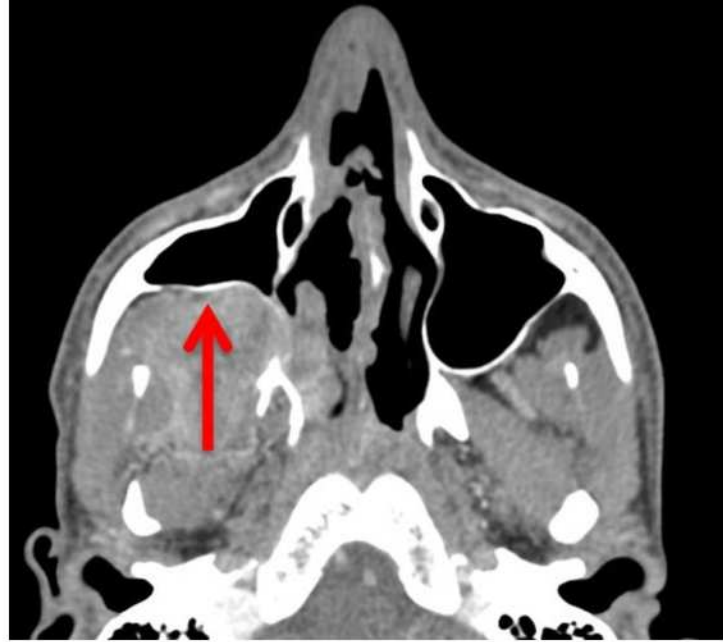
Juveniilne angiofibroom

- Põhisümtomiks korduvad atraumaatilised ninaverejooksud koos ninakinnisusega
- Esineb eelkõige poistel, sagedamini teismeeas
- Beniigne, kuid lokaalselt agressiivne kasvaja
- Lähtub tõenäoliselt *foramen sphenopalatinum*'i piirkonnast
 - *Fossa sphenopalatinum* on oluline ühendustee ninaõõne, ninaneelu ja kaela süvaruumide vahel
- Diagoosimise ajaks on enamasti saavutanud märkimisväärsed mõõtmed
- Kuvamise eesmärgiks eelkõige vältida ebavajalikke biopsiaid (veritsusrisk!) ja hinnata leviku ulatust.



Juveniilne angiofibroom

- Kontrastainega KT ja MRT:
 - Iseloomulik intensiivne kontrasteerumine
 - Holman-Milleri sümpтом ↑
 - Sageli esinevad luulised erosioonid
- Ravi:
 - kirurgiline reseksioon, koos eelneva DSA ja embolisatsiooniga
 - kiiritusravi mitteresetseeritavate kasvajate korral



Ägedate kaela piirkonna patoloogiate kuvamine



ACR
Appropriateness Criteria®

Clinical Condition: Neck Mass/Adenopathy

Variant 7: Child (up to age 14) presenting with a solitary neck mass (febrile).

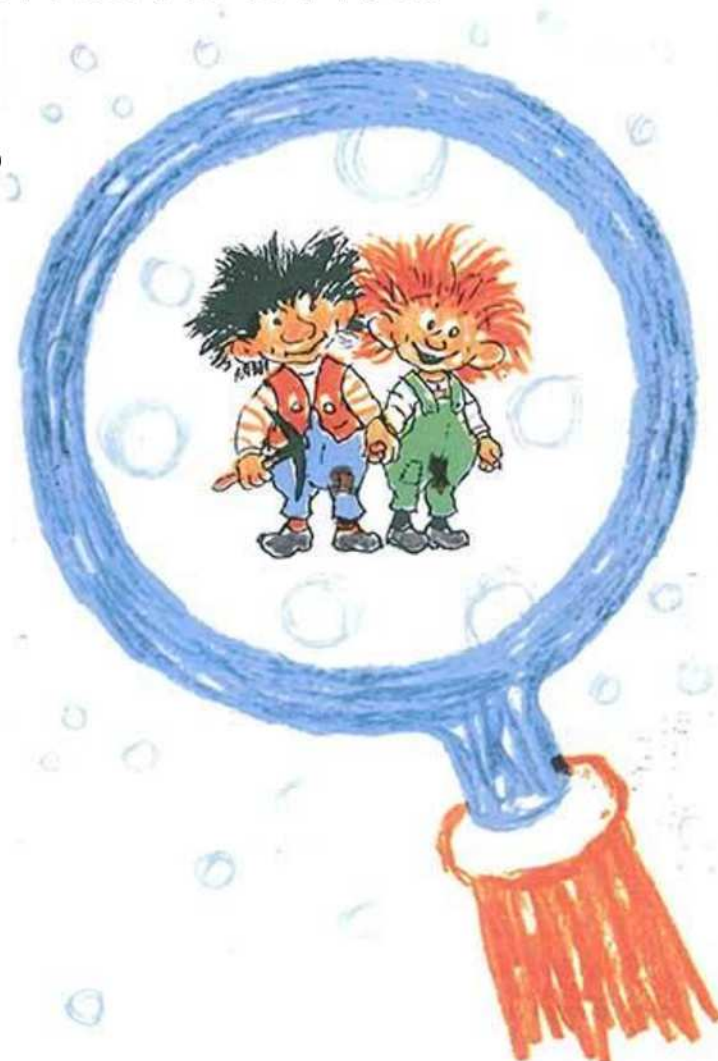
| Radiologic Procedure | Rating | Comments | RRL* |
|------------------------------------|--------|--|---------|
| US neck | 9 | For palpable neck mass, except retropharyngeal, where CT would be preferred. | O |
| CT neck with contrast | 8 | | ⊕ ⊕ ⊕ |
| MRI neck without and with contrast | 7 | See statement regarding contrast in text under "Anticipated Exceptions." | O |
| MRI neck without contrast | 6 | | O |
| CT neck without contrast | 5 | | ⊕ ⊕ ⊕ |
| CT neck without and with contrast | 2 | | ⊕ ⊕ ⊕ ⊕ |
| CTA neck with contrast | 2 | | ⊕ ⊕ ⊕ |
| MRA neck without and with contrast | 2 | | O |
| MRA neck without contrast | 2 | | O |
| Arteriography cervicocerebral | 1 | | ⊕ ⊕ ⊕ ⊕ |
| FDG-PET/CT neck | 1 | | ⊕ ⊕ ⊕ ⊕ |

Rating Scale: 1,2,3 Usually not appropriate; 4,5,6 May be appropriate; 7,8,9 Usually appropriate

*Relative
Radiation Level

Odontogeensed infektsioonid

- Hammaste lagunemine esineb ligikaudu 50% alla 9a ja kuni 80% alla 17 aastastel lastel
- Odontogeensed infektsioonid võivad olla suuõõne abstsesside põhjuseks
- Molaaride infektsioonid levivad tavaliselt submandibulaarruumi, eesmiste hammaste põletike korral on haaratud keelealune ruum



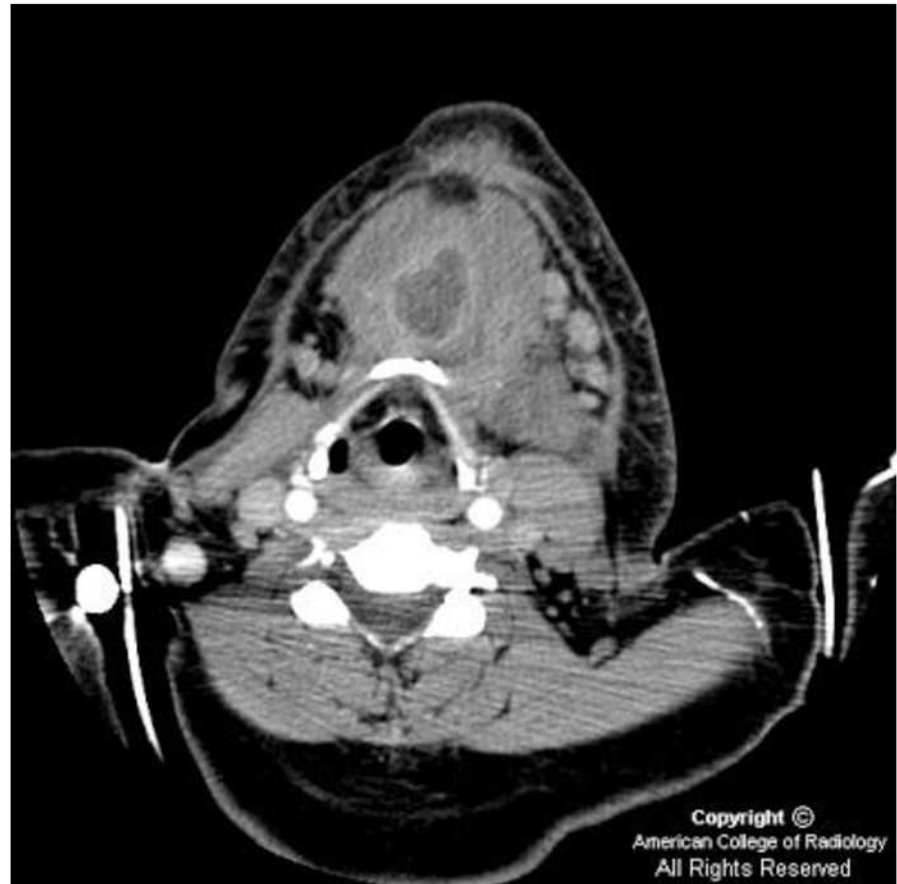
Suuõõne abstsess

- Sümptomiteks:
 - hambavalu, palavik, näo paistetus, trism, düsfaagia, düspnoe
- Kontrastainega KT-uuring:
 - iseloomulik vedelikukogumi servmine kontrasteerumine,
 - kaasuva tselluliidi ja müosiidi leid
 - luuaknaga näha võimalik infektsiooni lähtekoht (hamba periapikaalne abstsess, luukorteksi katkemine)



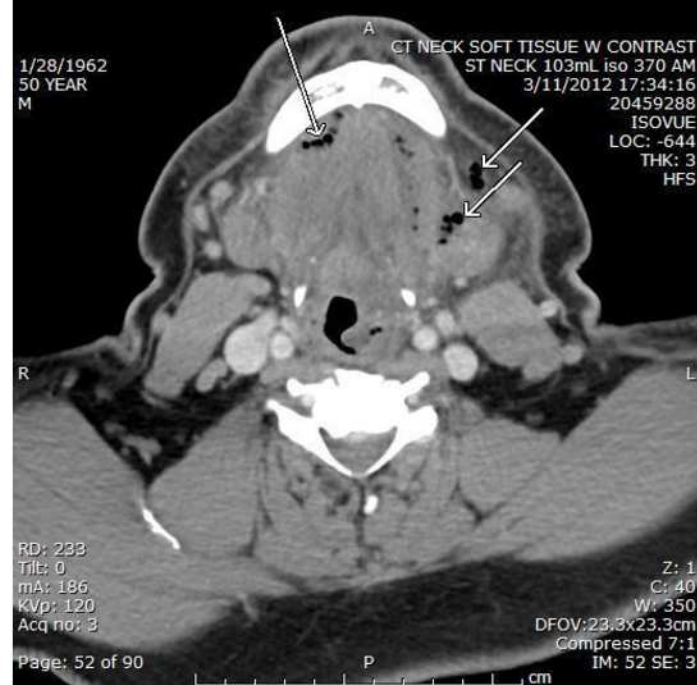
Ludwigi angiin

- Suupõhja nekrotiseeruv infektsioon
 - Suremus kuni 10%
- 90% juhtudest põhjuseks tagumisest hammastest lähtunud infektsioon
- Olemuselt eelkõige tselluliit
 - abstsess võib välja kujuneda hiljem
- Iseloomulik kiire levimine kahepoolselt suupõhja ruumidesse ja sealt edasi kaela süvaruumidesse



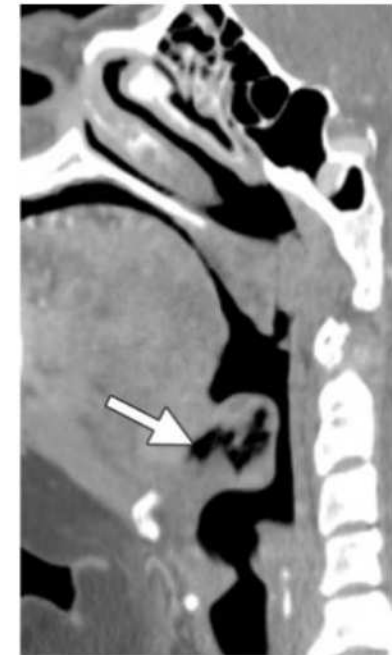
Ludwigi angiin

- Kuvamise eesmärgiks eelkõige selgitada:
 - dreneeritava abstsessi esinemine
 - viited gaasi produtseerivate bakterite infektsioonile
 - hingamisteede läbitavus
- Oluline kiire AB ravi alustamine ja hingamisteede käsitlus



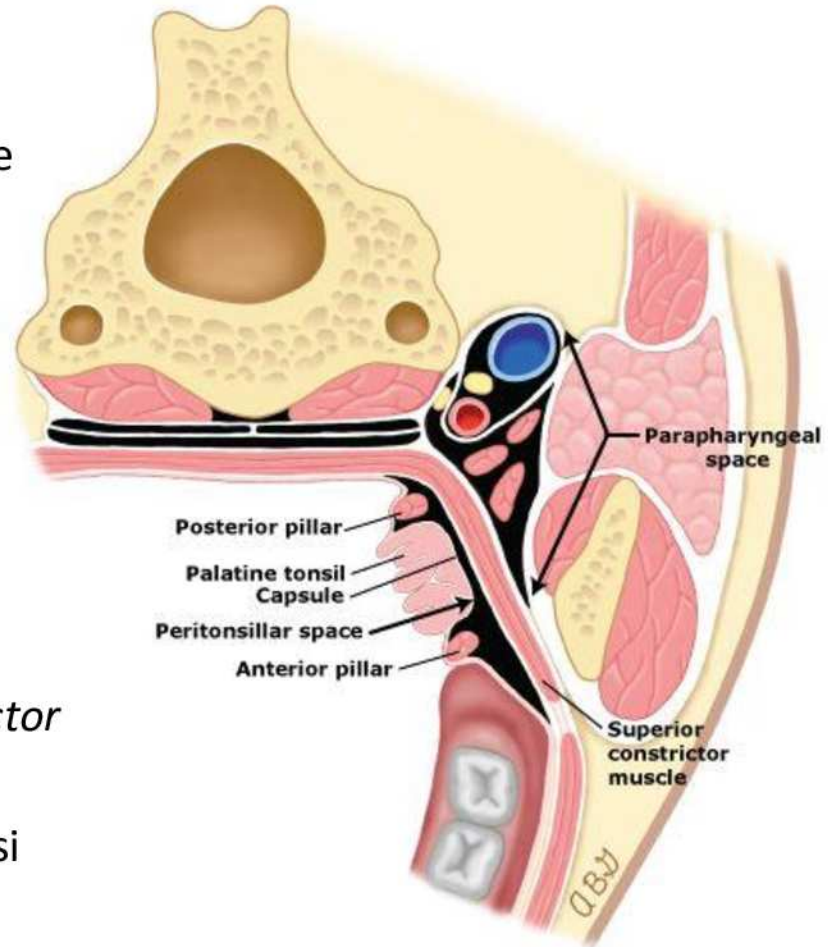
Epiglotiit

- Eelkõige kliiniline diagnoos
 - Akuutses faasis ei ole KT uuring vajalik ega soovituslik
- Tekitajad
 - *H. influenzae* - kulgeb kiirelt ja agressiivselt, vaksineerituse tõttu harvaesinev
 - Teised bakterid (*Streptococcus sp*) ja viirused – kulg aeglsem, rohkem haaratud supraglottilised struktuurid
- Sümptomid:
 - striidor, süljevoolus, düsfaagia, febriliteet, nn „kolmjalg“ sundasend
- Kontrastaineaga KT-uuringul:
 - epiglottise turse
 - limaskesta kontrasteerumine
 - tavaliselt on turselised ka supraglottiline kõri, keelepära, tonsillid
 - võivad esineda pehme koe flegmonoossed kogumikud
- Ravi: AB, steroidid, intubatsioon



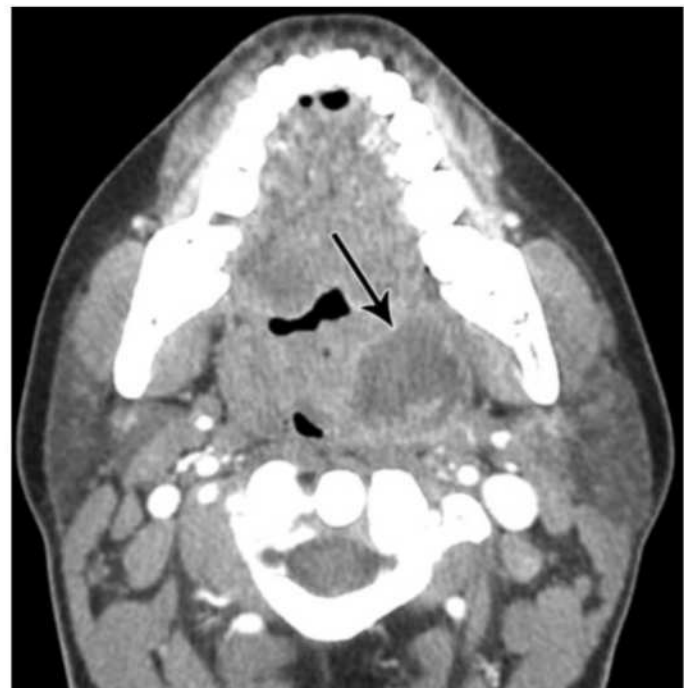
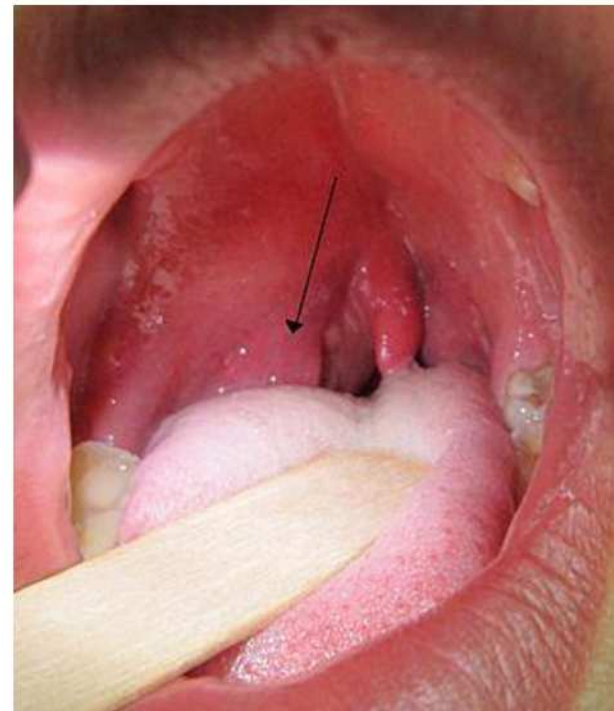
Tonsilliit

- Kõige sagedasem laste kaela süvapiirkonna infektsioon
- Kompliitseerumata juhtudel piltdiagnostikat ei ole vaja
- Äge tonsilliit võib supureeruda ning viia intratonsillaarse abstsessi formeerumiseni
 - 30% juhtudest on põhjustatud grupp A beeta-hemolütilisest streptokokist
- Sagedamini viitab mittetulemuslik AB ravi peritonsillaarse abstsessi esinemisele
 - potentsiaalne ruum tonsilli kapsli *m.constrictor superior*'i vahel
- Peritonsillaarruumist võib infektsioon levida edasi parafarüngeaalsele, mastikaator- või submandibulaarruumi



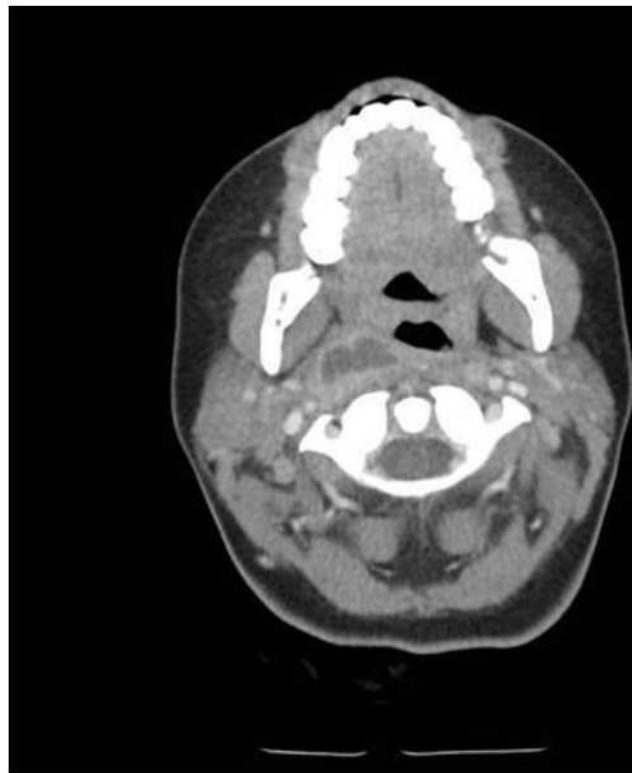
Peritonsillaarne abstsess

- Diagoos põhineb eelkõige kliinilisel leiu
- Kontrastaineaga KT-uuring on näidustatud, kui:
 - kliinilise leiu alusel diagnoos jäääb ebaselgeks
 - adekvaatne läbivaatus pole võimalik (nt. trismi tõttu)
 - jäääb kahtlus kaela süvaruumide haaratusele või võimalikule komplikatsioonile
 - AB ravivastus puudub



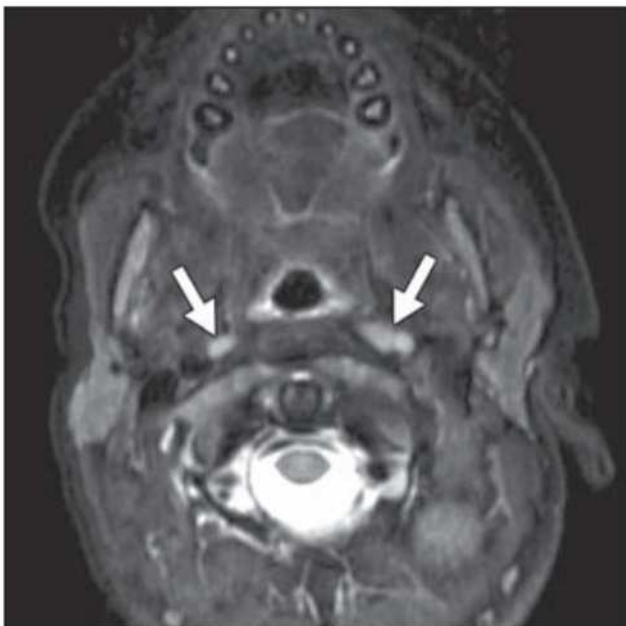
Parafarüngeaalne abstsess

- Kontrastaineaga KT-uuring:
 - kontrasteeruva äärisega vedelikukogum parafarüngeaalruumis
- Tüsistused:
 - äge kõriturse
 - infektsiooni levik retrofarüngeaalruumi ning mediastiinumisse
 - Lemierre sündroom
 - ACI mükootiline aneurüsm, ruptuur



Retrofarüngaeaalsed infektsioonid

- Lastele on iseloomulik promineeruvate retrofarüngaeaalsete lümfisõlmede esinemine
 - Nn. Rouvière lümfisõlmed
 - Normaalselt läbimõõt alla 8 mm
 - Tavaliselt atrofeeruvad puberteedieas



Reaktiivne
lümfisõlmede
suurenemine ja
supureerumine

Sinusit, tonsilliit,
farüngiit, otiit,
suuõõne infektsioonid

Infektsiooni levik
retrofarüngaeaalsetesse
lümfisõlmedesse

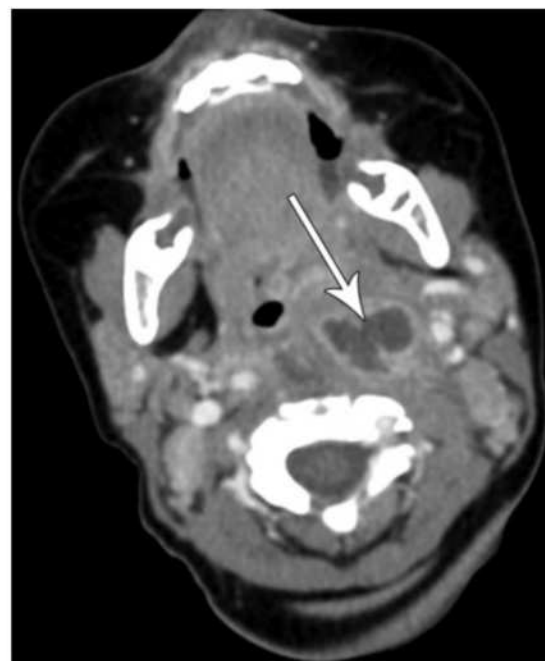
Ruptureerumise korral
formeerub
retrofarüngaeaalne
abstsess

Retrofarüngeaalsed infektsioonid

- Äge supuratiivne lümfadeniit ja retrofarüngeaalne abstsess



Abstsess



Supuratiivne lümfadeniit



Retrofarüngeaalne ödeem

Äge supuratiivne lümfadeniit

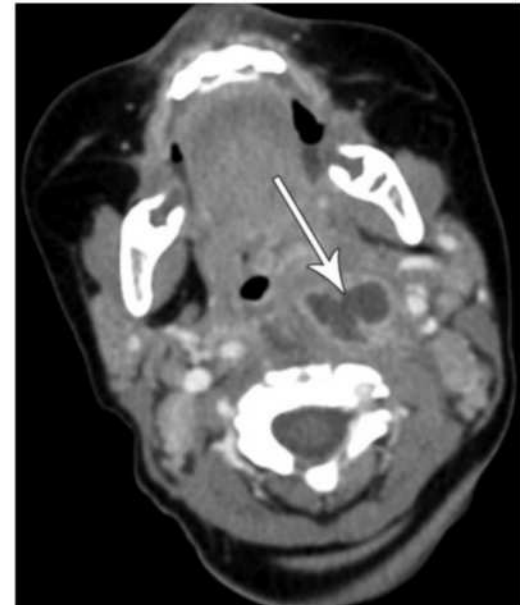
- Kontrastainega KT-uuringul:

- ümbritseva koe infiltratsiooni tunnused (retrofarüngeaalruumi ödeem)
- retrofarüngeaalsete lümfisõmede keskosa tiheduse langus ja perifeerne kontrasteerumine



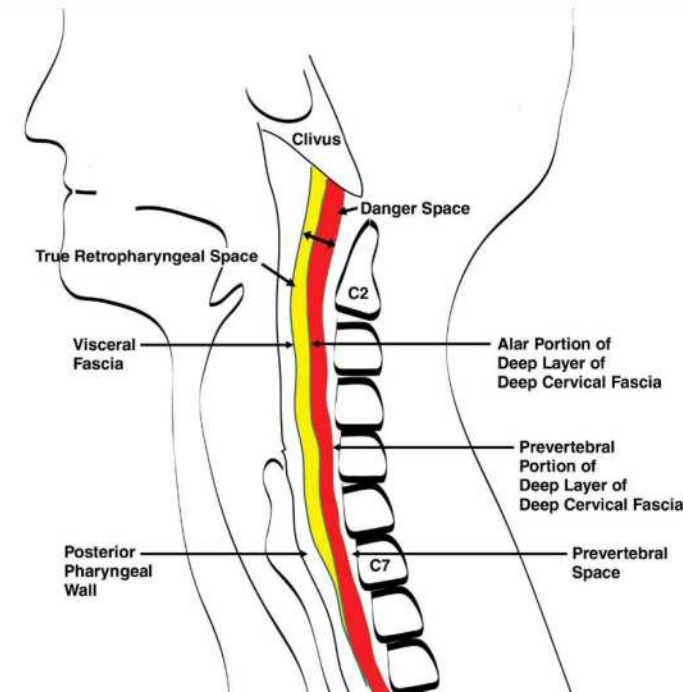
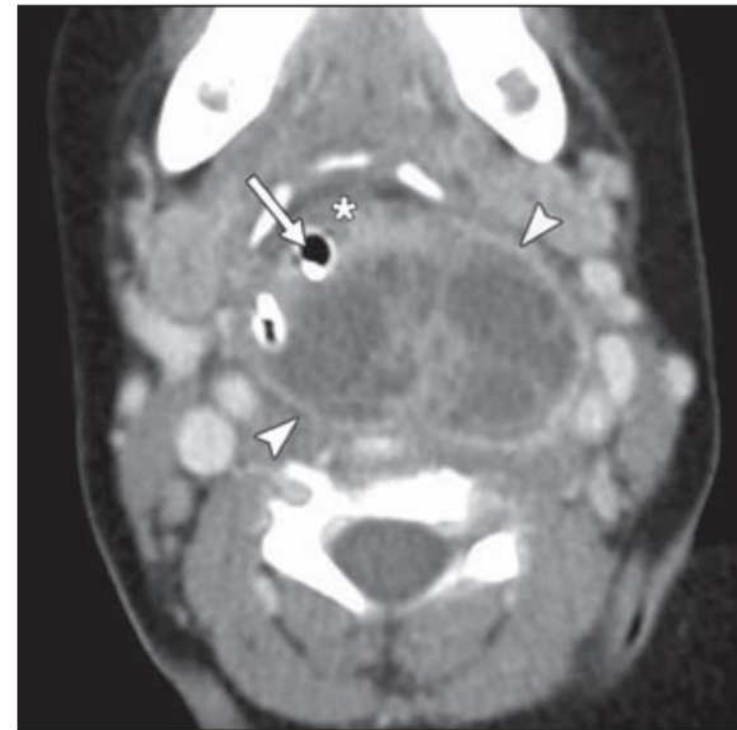
Purulentse materjali esinemise spetsiifilisus kuni 57%

- Hüpodensiivse fookuse maht $>4,4 \text{ cm}^3$
 - viide mäda esinemisele



Retrofarüngaeaalne abstsess

- Retrofarüngaeaalne abstsess:
 - perifeerse kontrasteerumisega vedelikukogum retrofarüngaeaalruumis
- Oluline hinnata ka:
 - Infektsiooni võimalikku levikut mediastiinumisse
 - hingamisteede läbitavust
 - lülisamba ja epiduraalruumi haaratust
 - Grisel sündroom
 - ulatumine karotiidruumi
 - jugulaarveeni tromboseerumine, pseudoaneurüsmi formeerumine, AIC ahenemine



Retrofarüng eaalsed infektsioonid

Multiplanar Imaging of Retropharyngeal Space

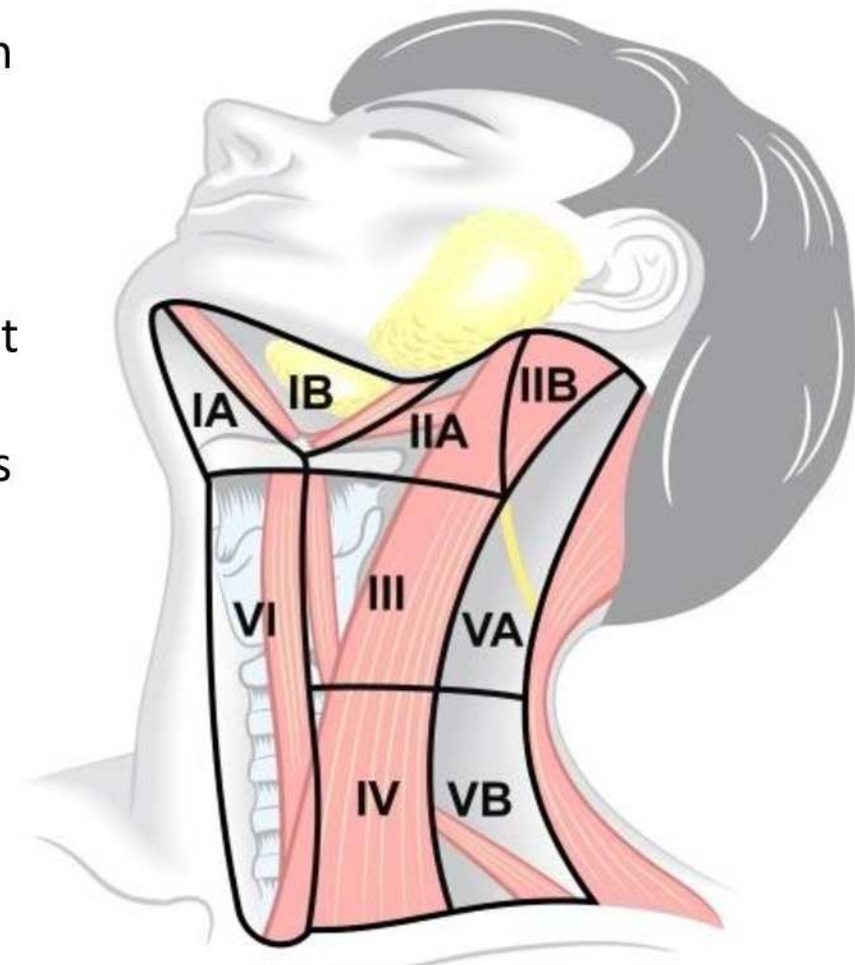
TABLE I: Four-Step Interpretive Approach to Retropharyngeal Space Collection on Multiplanar Imaging

| Step | Retropharyngeal Edema | Suppurative Retropharyngeal Node | Retropharyngeal Abscess |
|-------------------------------|---|---|---|
| Fluid distribution | Fills the retropharyngeal space from side to side | Unilateral | Fills the retropharyngeal space from side to side |
| Configuration and mass effect | Axial images show ovoid, rectangular, or "bow-tie" configuration; sagittal images show diffuse configuration with tapered inferior and superior margins; mild mass effect | Rounded or ovoid configuration; mass effect varies | Rounded or ovoid configuration; moderate-to-marked mass effect |
| Thick enhancing wall | No | Can have an enhancing wall | Most have an enhancing wall |
| Ancillary findings | Neck infection adjacent to the retropharyngeal space or suppurative retropharyngeal node; internal jugular vein thrombosis; focal calcification anterior to C1–C2; other inflammatory signs of radiotherapy | Primary infectious source such as otitis media or tonsillitis; retropharyngeal edema is a common associated finding | Primary infectious source such as otitis media or tonsillitis; presence of a foreign body in traumatic causes; complications in the airway, mediastinum, or vessels |

Jenny et al. American Journal of Roentgenology. 2011

Kaela piirkonna infektsioosne lümfadenopaatia

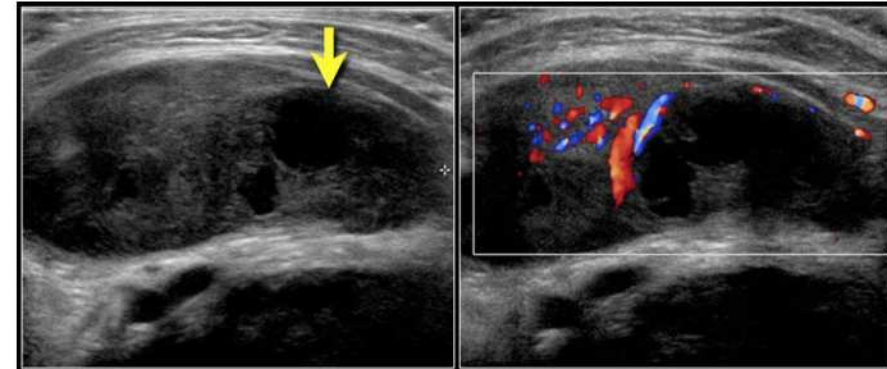
- Suurenenedud infektsioosed lümfisõlmed on kõige sagedasemaks laste kaela piirkonna lisamassiks
- Normaalsete kaela lümfisõlmede läbimõõt ei ületa 10 mm
 - Erandiks IB ja IIA regiooni sõlmed, mis võivad olla läbimõõduga kuni 15 mm
- Tekitaja alusel:
 - Viraalne
 - Bakteriaalne



Kaela piirkonna infektsioosne lümfadenopaatia

- Supuratiivsed kaela piirkonna lümfisõlmed

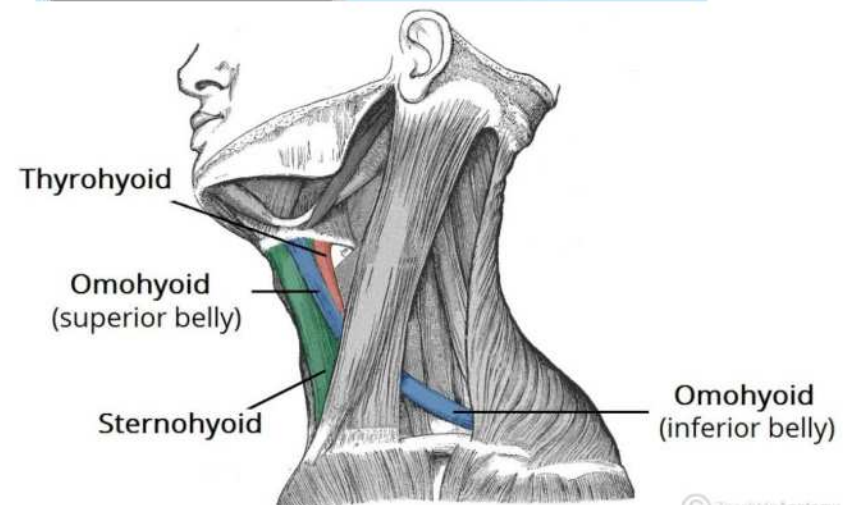
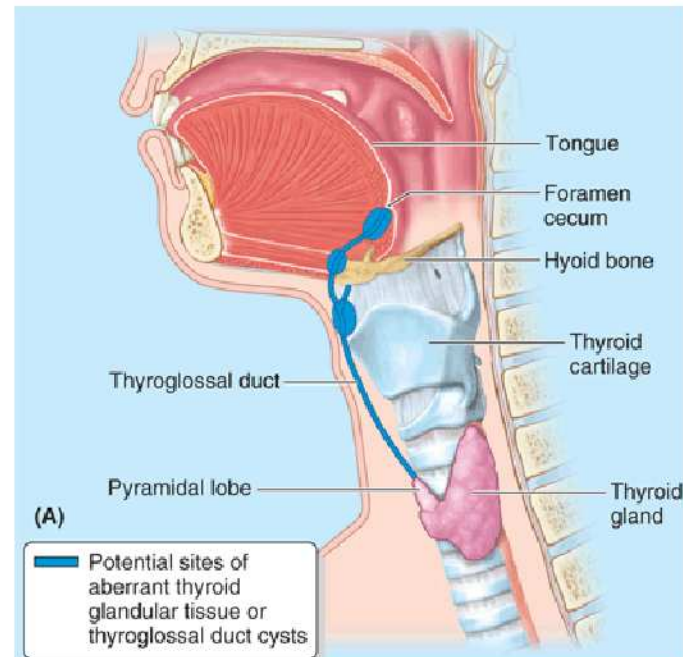
- Palpatsioonil liikuvad, võivad olla valulikud
- UH-uuringul:
 - Lümfisõlme mõõtmete suurenemine
 - Intranodaalsed tsüstilised muutused
 - Rohkenenud vaskularisatsioon
- Kontrastainega KT-uuringul:
 - Hästipiirdunud, hüpodensiivsed, perifeerse kontrasteerumisega,
 - Ümbritseva koe turse tunnused
- MRT uuringul:
 - T1 kujutisel hüpointensiivse signaaliga, T2 kujutisel hüperintensiivse signaaliga
 - T1+C kujutisel perifeerne kontrasteerumine



Scrofula

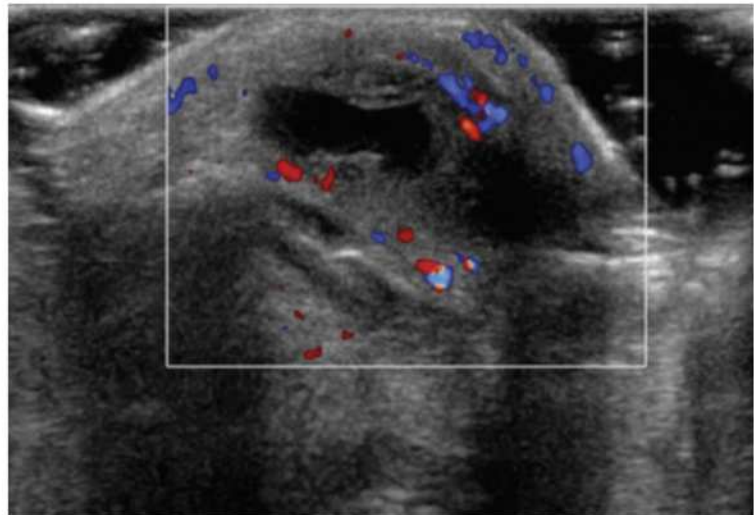
Türeoglosaaljuha tsüst

- Türeoglosaaljuha ühendab keele for.caecumi ja kilpnääärme
- Kaetud sekretoorse epiteeliga
- Embrüonaalne kilpnääre laskub juha kaudu oma anatoomilisse asendisse
- Tavaliselt juha involuteerub 8. ja 10. gestatsiooni nädala vahel
- Enamik tsüste asub keeeluu piirkonnas ning on ümbritsetud kaela eesmise rühma lihaste (*mm. infrahyoidei*) poolt
- DDx: (epi)dermoidtsüst, lümfangioom, tsüstiline hügroom, supuratiivne lümfisõlm, abstsess



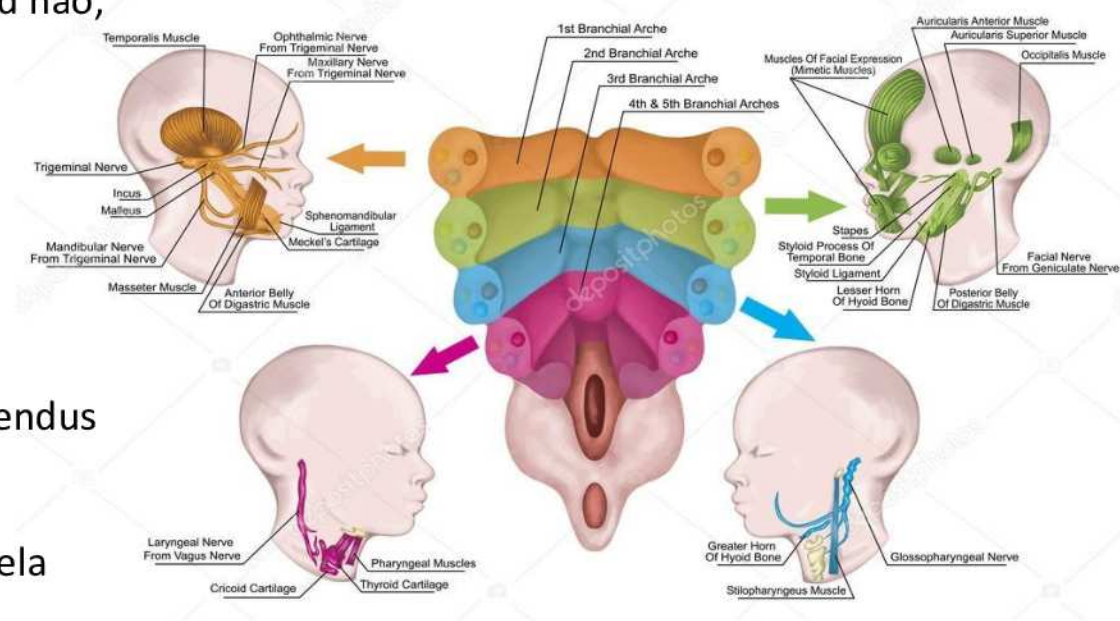
Türeoglosaaljuha tsüst

- Kliiniline leid:
 - Kaela mediaalne, palpatsioonil valutu lisamass, mis liigub kaasa neelamisel
 - Infiltseerumise korral lisanduvad turse, valu, erüteem, palavik
- UH leid:
 - Ümar hästi piirdunud iseloomulikus lokalisatsioonis asuv tsüst
 - Tsüsti sisaldis võib olla erineva kajalisusega
 - mida valgurohkem sisaldis seda ehhogeensem
 - Paksenenud sein, ümbritsev hüpereemia ja vaheseptid viitavad infiltseerumisele
- Kontrastainega KT-uuringu leid:
 - Tavaliselt õhukese seinaga tsüst, mille sein võib kontrasteeruda
 - Paksenenud ebateravalt piidunud sein ja ümbritseva koe infiltratsioon viitab infiltseerumisele

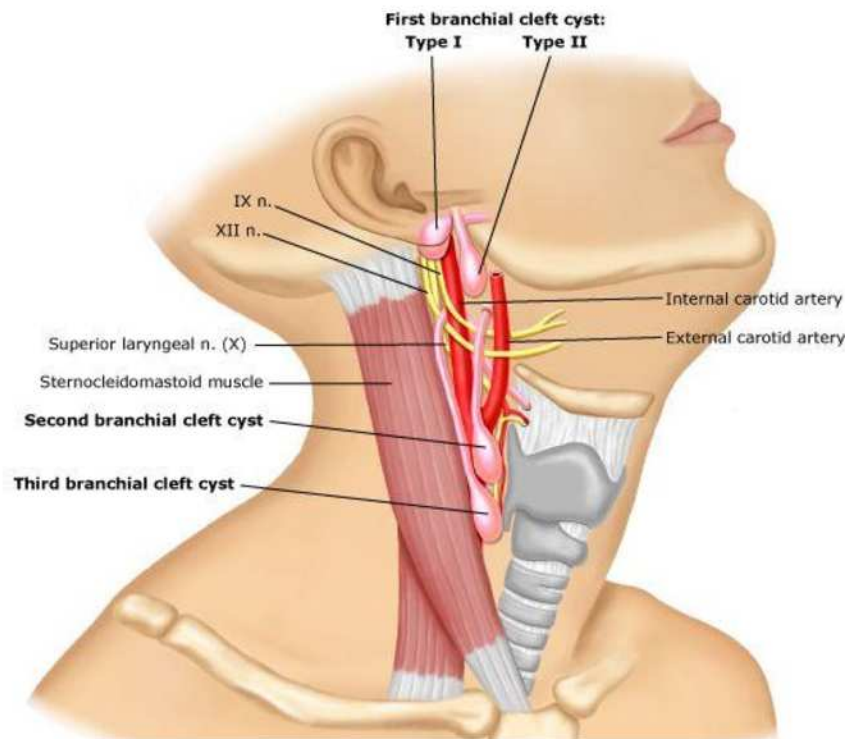
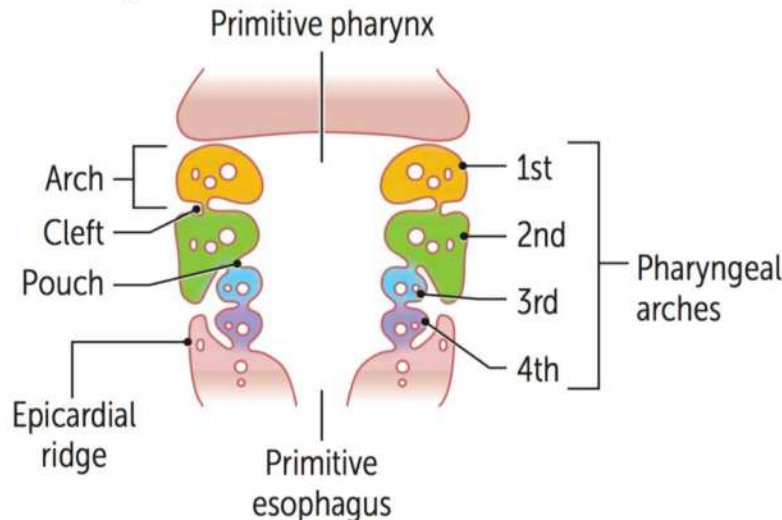


Lõpuspilu tsüstid

- Embrüonaalsetest lõpuskaartest arenevad näo, neelu ja kaela koed ja struktuurid
- Lõpuskaare sulgumise häire:
 - Tsüst** – ei ole sisemist ega välimist ühendust (kuni 75%)
 - Siinus – ühe ühendusega kanal
 - Fistel – nii sisemine kui välimine ühendus
- Moodustavad kuni 1/3 kaasasündinud kaela massidest
- Palpatsioonil fluktueeriv, valutu lisamass, mis võib ÜHI järgselt infitseeruda ning moodustada abstsessi



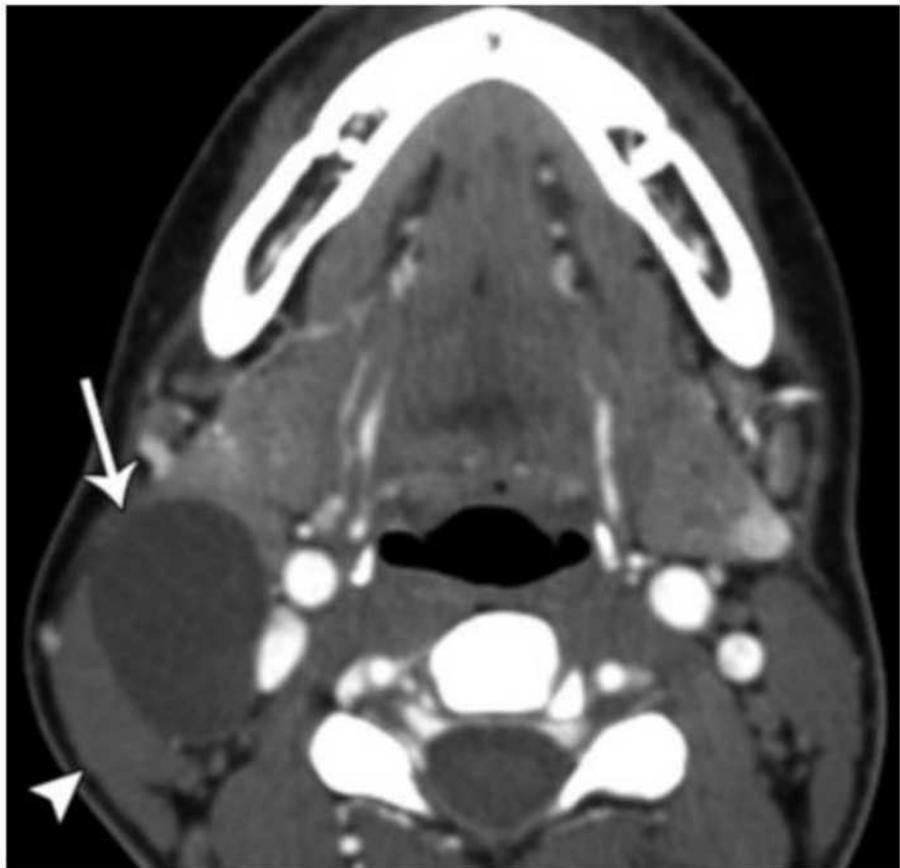
Lõpuspilu tsüstdid



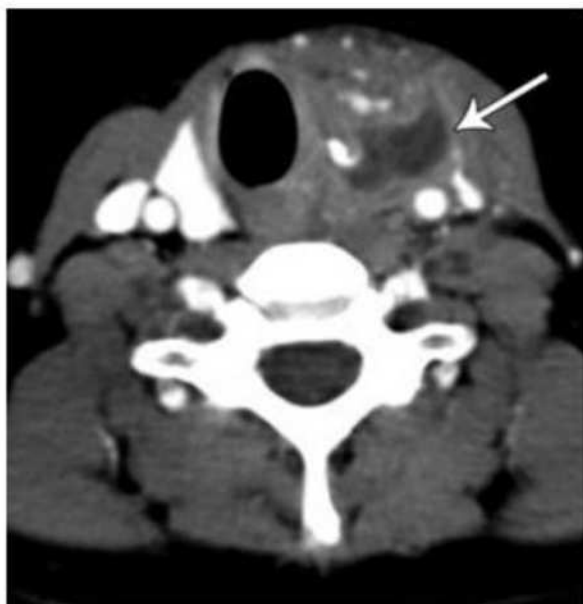
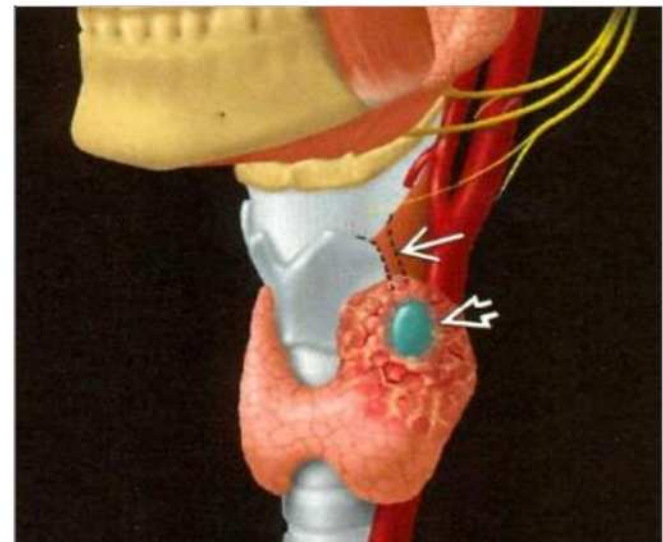
| Lõpustasku | Derivaat | Kliiniline tähdendus |
|---------------|--|--|
| I | Kuulmetöri, keskkörvaõös, osaliselt mastoidrakustik | 1. lõpuspilu tsüst – lokal. periaurikulaarsele või periparotiidselole, tsüsti trakt seotud sageli välise kuulmekäiguga |
| II | Kurgumandlid | 2. lõpuspilu tsüst – tsüsti trakt sageli seotud kurgumandliurkega (<i>sinus tonsillaris</i>) Kõige sagedasem – 90-95% juhtudest |
| III | Tüümus Alumised kõrvalkilpnäärmad | 3.lõpuspilutsüst- kõige harvem esinev, lokl. kaela ülemisse tagumisse või eesmisse alumisse ruumi |
| IV (ja VI) | Ülemised kõrvalkilpnäärmad Kilpnäärmme parafollikulaarsed rakud | 4. lõpuspilu anomalia- lokl. vasak kilpnäärmme sagar või vasak sinus piriformis, tsüsti trakt sageli seotud türeohüoidse membraaniga või pirnsopisega |

2. lõpuspilu tsüst

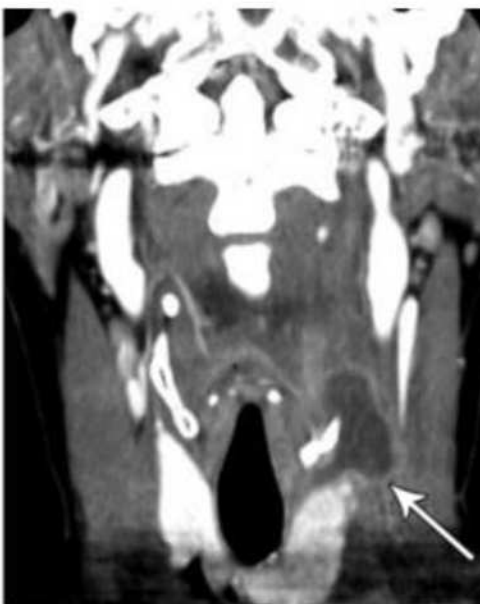
- Kõige sagedasem lõpuspilu tsüst (90 – 95% juhtudest)
- Sagedamini 10-40 aasta vanuses
 - Noorematel võib esineda siinuse või fistlina
- Võib paikneda neelukaarest kuni supraklavikulaarpikonnani
- Paikneb:
 - Anteromediaalselt m.SCM suhtes
 - Anterolateraalselt karotiidarterite suhtes
 - Posteroorselt parotiidnäärme suhtes
- DDx: tüümuse tsüst, lümfatiline malformatsioon, supureerunud lümfisõlm, abstsess
- Valikraviks on kirurgiline resektsioon



4. lõpuspilu tsüst



a.



b.



c.

Figure 20. Third or fourth branchial anomaly with pyriform sinus fistula in a 19-year-old woman with recurrent left neck abscesses. (a, b) Axial (a) and coronal (b) contrast-enhanced CT images show a peripherally enhancing fluid collection at the superior pole of the left thyroid lobe (arrow), a finding suggestive of an abscess. (c) Frontal radiograph obtained at a barium swallow examination 2 weeks after a course of antibiotic treatment depicts a fistula (arrow) that arises from the left pyriform sinus.

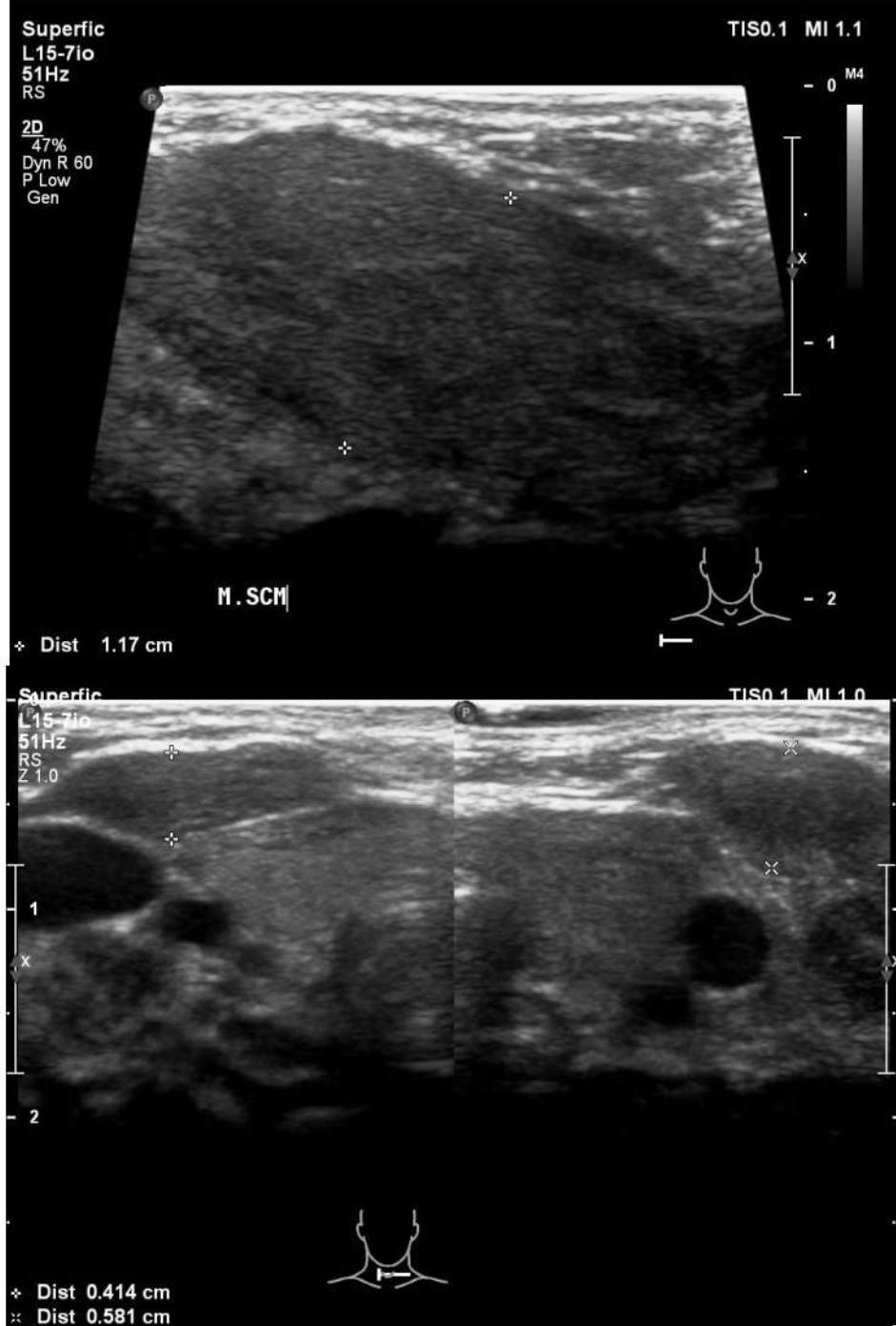
Fibromatosis colli

- Fibromatosis colli ehk *m.sternoclidomastoideus*'e pseudotuumor
- Tõenäoliselt põhjustatud lihase fibrokollageensest infiltratsioonist
- Beniigne iselimitteeruv muutus
 - Taandub spontaanselt tavaliselt 1. eluaasta jooksul
- Kuni 20% juhtudest kaasneb *torticollis*
 - Väga harva vajalik m.SCM tenotoomia



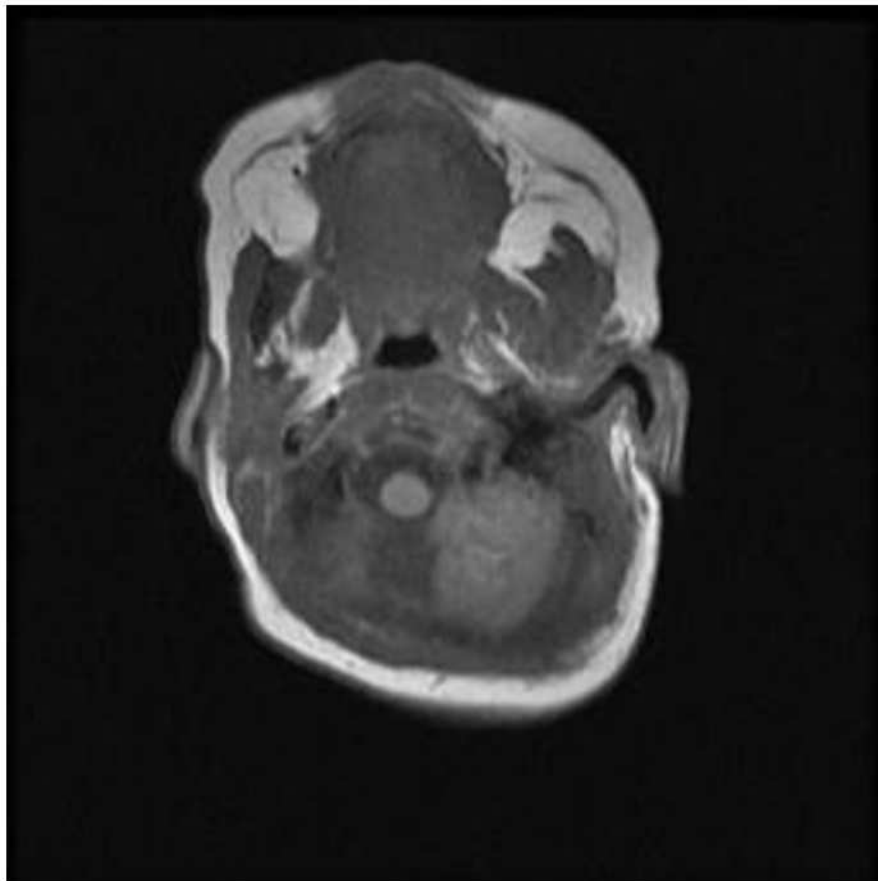
Fibromatosis colli

- Valikmeetod UH-uuring:
 - m.SCM difuusne või fokaalne paksenemine
 - Fusiformne või ümarovaalne
 - Võib olla erineva ehhogeensusega
- MRT leid:
 - Fusiformne m.SCM paksenemine
 - T1 kaalutud kujutisel tavaliselt iso- või hüpointensiivse signaaliga teiste lihastega võrreldes
 - T2 kujutisel kergelt hüperintensiivse signaaliga
 - T1 + C kujutisel difuusne/heterogeene kontrasteerumine
 - Ümbritsevad koed normaalse signaaliga

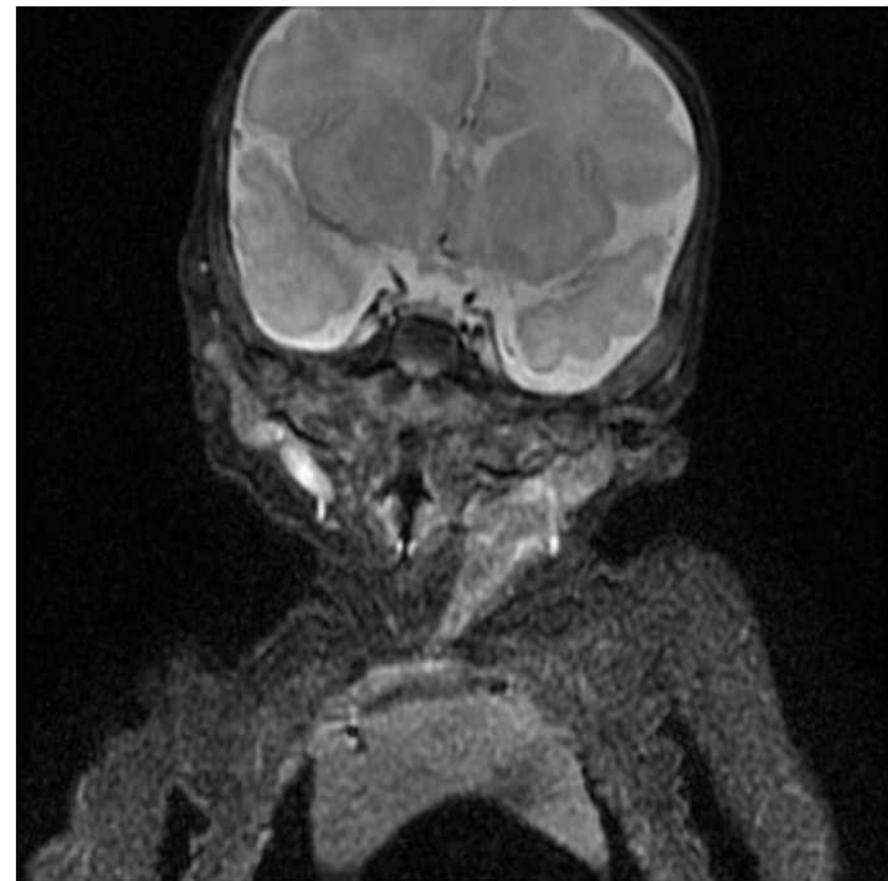


Haigusjuht 2

- 3 nädalane pojsslaps
- MRT



T1



T2

Tänan tähelepanu eest!

Suur tänu dr. Äli Roose, dr. Katrin Bakhof, dr. Ionella
Rebane, dr. Mare Uritam ja dr. Aita Tilk!

Kasutatud kirjandus

- Ludwig BJ et al. Diagnostic Imaging in Nontraumatic Pediatric Head and Neck Emergencies. *Radiographics* 2010; 30:781–799
- Hedge SV et al. A Space-Based Approach to Pediatric Face and Neck Infections. *Neurographics* 2014
- R. Otsus ettekanne „Pea- ja kaelapiirkonna erakorraline radioloogia“ *ERÜ kolmapäevaseminar 22.02.2017*
- Ä. Roose ettekanne “Näo-kaela piirkonna anatoomia, arengulised muutused” MRT kool 2012
- American College of Radiology. ACR Appropriateness Criteria: sinusitis—child. American College of Radiology Web site. <http://www.acr.org>
- Norma C et al. Retropharyngeal Lymph Nodes in Children: A Common Imaging Finding and Potential Source of Misinterpretation. *American Journal of Roentgenology* 2011 196:4, W433-W437
- Jenny et al. Multiplanar CT and MRI of Collections in the Retropharyngeal Space: Is It an Abscess? *American Journal of Roentgenology* 2011 196:4, W426-W432
- American Academy of Pediatrics, Subcommittee on Management of Sinusitis and Committee on Quality Improvement. Clinical practice guideline: management of sinusitis. *Pediatrics*. 2001;108(3):798–808
- Ellen R. Clinical Practice Guideline for the Diagnosis and Management of Acute Bacterial Sinusitis in Children Aged 1 to 18 Years. *Pediatrics* 2013
- RSNA education exhibits “Imaging Features of Deep neck Infections” 2015
- Capps EF et al. Emergency Imaging Assessment of Acute, Nontraumatic Conditions of the Head and Neck. *Radiographics* 2010; 30:1335-1352